INPE-454-LAFE

MODELO DINÂMICO DE UMA BACIA HIDROGRÁFICA RESOLVIDO NUMERICAMENTE PELA TÉCNICA DE SIMULAÇÃO DE SISTEMAS

> Edgard Dias Batista Junior José Antonio Scaramucci Oscar Pereira Dias Junior

> > MARÇO 1974





#### SERVIÇO PÚBLICO FEDERAL

CONSELHO NACIONAL DE PESQUISAS
INSTITUTO DE PESQUISAS ESPACIAIS
São José dos Compos - Estado de S. Paula - Brasil

# MODELO DINÂMICO DE UMA BACIA HIDROGRÂFICA RESOLVIDO NUMERICAMENTE PELA TÉCNICA DE SIMULAÇÃO DE SISTEMAS

Este relatório foi apresentado, como parte dos requisitos necessários à obtenção do grau de Mestre em Ciências na área de Análise de Sistemas e Aplicações pelo Instituto de Pesquisas Espaciais, por Edgard Dias Batista Júnior, José Antonio Scaramucci, Oscar Pereira Dias Júnior, tendo como orientador Dr. Ralfi Gielow.

Sua publicação foi autorizada pelo abaixo assinado,

Fernando de Mendonça Diret**or** Geral

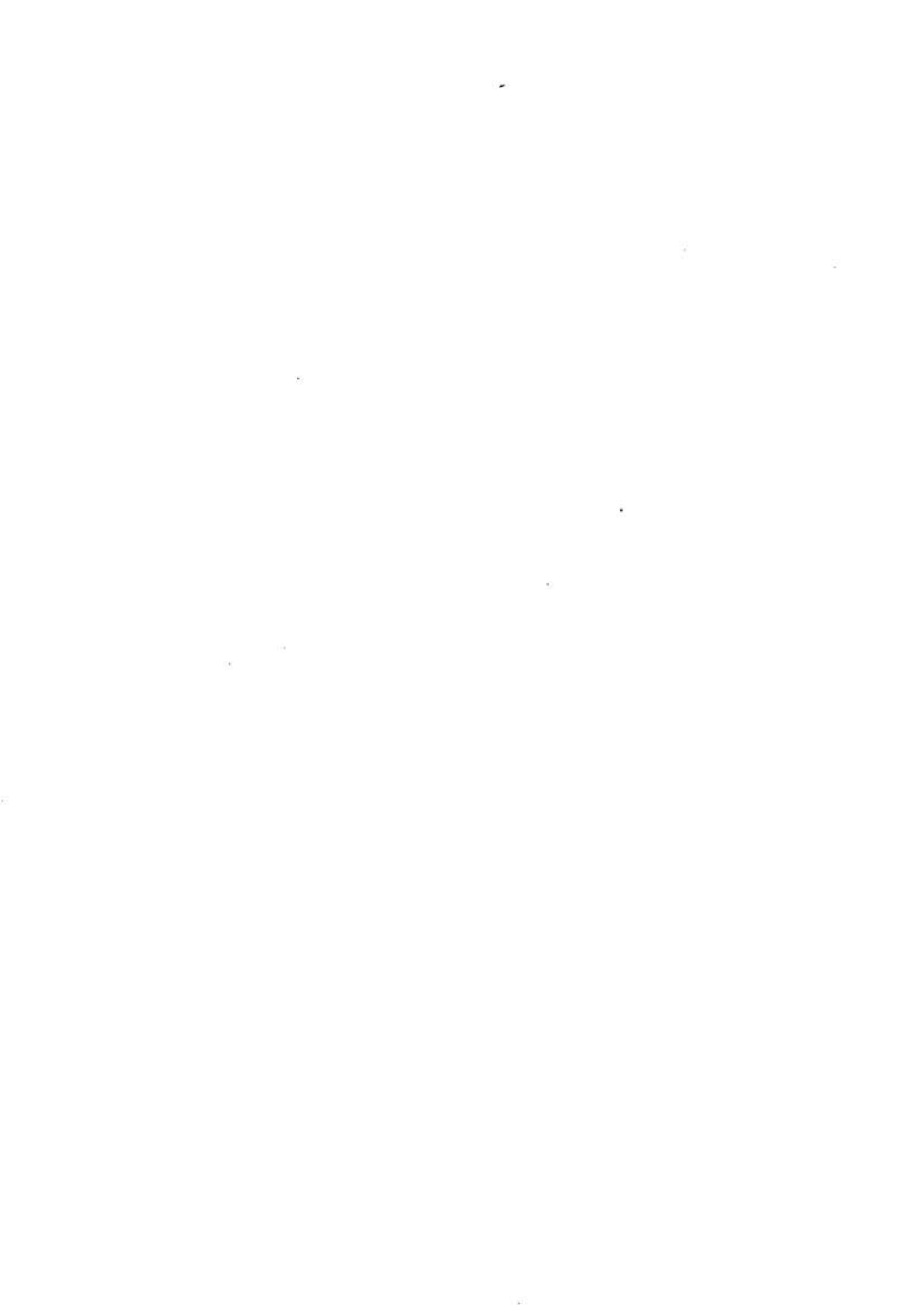
Idellendoren



Ä Ronilda E. D. B. Jr.

À Matilde e Chiara J. A. S.

À Maria Helena e Silvia Helena O. P. D. Jr.



#### **AGRADECIMENTOS**

Ao Dr. Fernando de Mendonça, pelo apoio

Dr. Ralf Gielow, pela orientação

Prof. Ernesto De Vitta Jr., pelas iteias iniciais

Teresa Tokiko Takahashi, pela datilægrafia

e a todos que, de uma maneira ou outra, tornaram possível a realização desse trabalho.



# INDICE

AGR/	ADECI	MEN	ros	iii
FIG	JRAS.			٧Ť
TAB	ELAS.		v	iii
10.0000			· · · · · · · · · · · · · · · · · · ·	
ABS	TRACT			χV
			······································	
1.	- 25		[DADES	
•			Ciclo Hidrologico	
	1.2		Modelo para Simulação da Dinâmica do Escoamento	
			Método de Snyder	
			Avaliação dos Resultados	
2.			SDE	
۷.		104	Considerações Gerais	
			Entradas e Saídas do Modelo	
			Estrutura Básica	
			Descrição do Modelo	
4				
3.			DE SNYDER	
			Considerações Gerais	
	3.2	•	Descrição do Método	
			3.2.1 - As Equações de Snyder	
			3.2.2 - Sintese do Hidrograma Unitário	31
4.	EXEM	PL0	DE APLICAÇÃO	35
	4.1	-	Escolha da Área de Teste	35
	4.2	-	Parametros da Bacia de Teste	35
	4.3	-	Experimentos	39
	4.4	•	Avaliação do Modelo SDE	49
			4.4.1 - Comparação de Hidrogramas	49
1			4.4.2 - Comportamento da Vazão de Pico como Função da Intensidade de Chuva	50



	12 (⊕)
	# H H H H H H H H H H H H H H H H H H H
	4.4.3 - Comportamento do Tempo de Pico como Função da Intensidade de Chuva51
5.	CONSIDERAÇÕES FINAIS54
APĒ	NDICES:
Α.	FLUXOGRAMA SIMPLIFICADO DO MODELO SDE
В.	TECNICA DOS MINIMOS QUADRADOS PARA AJUSTE DE FUNÇÕES NÃO LINEARES, SUJEITO A RESTRIÇÃO
С.	UMA SOLUÇÃO PARA O PROBLEMA DE ESCOAMENTO TRANSIENTE EM CANAIS
D.	ESTUDO DO DESVIO ENTRE A ĀREA SOB O HIDROGRAMĀ E O ESCOAMENTO TOTAL
Ε.	GLOSSÁRIO DE EXPRESSÕES USADAS EM HIDROLOGIA87
BIB	LIOGRAFIA92

# FIGURAS

1.1	-	Ciclo Hidrológico	2
1.2	-	Hidrograma segundo Snyder	4
2.1	-	Sequência de Cortes, representando Instantes Característicos de cada Fase do Ciclo do Escoamento	7
2.2	-	Arvore de Decomposição da Precipitação	8
2.3	-	Modelo SDE (Esquema Simplificado)	9
2.4	•	0 Ciclo K	13
2.5	•	A Cēlula (i, j) e suas Vizinhas	14
2.6	-	Fluxograma Esquemático do Modelo SDE	17
2.7	-	Inclinação no Canal	21
2.8	-	Perspectiva de uma Bacia Hidrogrāfica	27
3.1	-	Os Sete Pontos do Hidrograma Unitário segundo Snyder	32
4.1	•	Relevo Digitalizado da Bacia de Teste	36
4.2	-	Disposição Geográfica da Rede de Drenagem	37
4.3	-	Hidrograma Correspondente ao Experimento 1	40
4.4	-	Hidrogramas Unitários Correspondentes ao Experimento 1	41
4.5	•	Arvore de Decomposição da Precipitação Correspondente ao Experimento 1	42
4.6	-	Hidrogramas Unitários Correspondentes ao Experimento 2	44
4.7	-	Arvore de Decomposição da Precipitação Correspondente ao Experimento 2	45
4.8	-	Hidrogramas Unitários Correspondentes ao Experimento 3	47
4.9	-	Arvore de Decomposição da Precipitação Correspondente	48



4.10	-	Relação entre Tempo de Atraso e Intensidade da	
		Precipitação	53
A.1	•	Fluxograma Simplificado do Modelo SDE	59
B.1	-	Modificação do Ramo Descendente do Hidrograma	70
C.1	-	Esquema de Definição das Variãveis	73
C.2	_	0 Plano x - t	76
D.1	-	Grāfico da Função f(c)	83

17.



# TABELAS

2.1	-	Digitalização do Tipo de Celula	18
4.1	-	Parametros da Bacia de Teste	38
4.2	-	Vazão de Pico como Função da Intensidade da Precipitação	51
4.3	-	Tempo de Pico como Função da Intensidade da Precipitação	52
4.4	_	Tempo de Atraso como Função da Intensidade da	
		Precipitação	52



## SIMBOLOS

A - area da bacia hidrografica, [L2]

A<sub>b</sub> - ārea de base da celula, [L2]

A - area da celula do canal, [L2]

A, - area de escoamento relativa ao ciclo K, [L2]

AREA - ārea sob o hidrograma unitārio, [L]

a - coeficiente de amortecimento, [T<sup>-1</sup>]

a - constante adimensional da função Pearson tipo III

b - constante usada na equação 2.3, [L-1]

C - coeficiente de cisalhamento

C<sub>n</sub> - porcentagem de area com vegetação em relação a area total

C<sub>n</sub> - coeficiente de Snyder

C+ - coeficiente de Snyder

c - constante da função Pearson tipo III, [T]

o ponto de inflexão da função que representa o desvio entre
 a área sob o hidrograma e o escoamento total

min - ponto de minimo da função que representa o desvio entre a area sob o hidrograma e o escoamento total.

c, - n-ésima estimativa para o valor do marametro c

D - diferença de nivel entre duas células consecutivas, [L]

 d - desvio de <u>a</u> em relação ao valor, em torno do qual se de senvolveu a série de Taylor.

E<sub>a</sub> - taxa de evaporação por unidade de ārea, [LT<sup>-1</sup>]

Fo - capacidade de infiltração inicial (maxima), [LT-1]



```
F<sub>c</sub> - capacidade de infiltração minima, [LT<sup>-1</sup>]
```

F<sub>k</sub> - capacidade de infiltração durante o ciclo K, [LT<sup>-1</sup>]

g - aceleração da gravidade, [LT<sup>-2</sup>]

 $H_k$  - altura de agua no instante  $t_0$  + KMt, [L]

H<sub>k</sub>, - altura de água, após a precipitação, [L]

H<sub>k2</sub> - altura de agua, após a interceptação, [L]

H<sub>k3</sub> - altura de água, após a infiltração, [L]

H<sub>k</sub> - altura de água, após o escoamento, [L]

h - profundidade do escoamento em canañs, [L]

h; - altura transferida para a i-esima xelula, [L]

 h<sub>k</sub> - soma das contribuições de agua, em altura, provenientes das vizinhas mais altas, relativas ao ciclo K, [L]

 n<sup>S</sup><sub>k</sub> - altura de agua transferida a saida da bacia durante o ciclo K, [L]

h<sub>t</sub> - derivada parcial da profundidade com: respeito ao tempo,
[LT<sup>-1</sup>]

 $h_{\chi}$  - derivada parcial da profundidade com respeito  $\bar{a}$  distância

I<sub>k</sub> - intensidade da chuva no intervalo de tempo compreendido no ciclo K, [LT<sup>-1</sup>]

K - designação de um ciclo genérico

K - fator de conversão de unidades, [12]

L - largura da célula, [L]

L - comprimenro do canal principal, [1]



- L<sub>ca</sub> distância, ao longo do canal, desde a saida da bacia até o centróide da área de drenagem, [L]
- $\ell_i$  limitante da altura de agua a ser recebida pela i-esima vizinha, [L]
  - n coeficiente de rugosidade de Manning,  $[L^{-1/3} T]$
- ny número de celulas vizinhas mais baixas
- P quantidade de chuva acumulada até o final do ciclo K, [L]
- Pr período de ascensão do hidrograma unitário, [T]
- Q vazão na saída da bacia hidrográfica,  $[L^3 T^{-1}]$
- $Q_k$  vazão para o ciclo K,  $[L^3 T^{-1}]$
- Q<sub>k</sub> vazão relativa ao ciclo K, na direção da i-esima vizinha, [L<sup>3</sup> T<sup>-1</sup>]
- $Q_k^S$  vazão media durante o ciclo K na saída da bacia hidrogrāfica,  $[L^3 T^{-1}]$
- $Q_p$  vazão de pico do hidrograma unitário,  $[L^3 T^{-1}]$
- Q<sub>7i</sub> vazão correspondente aos sete pontos obtidos pelo método de Snyder, [L<sup>3</sup> T<sup>-1</sup>]
  - q taxa de entrada lateral, [L T<sup>-1</sup>]
  - R número de Reynold
  - r raio hidráulico, [L]
  - S inclinação
- S<sub>v</sub> capacidade de armazenamento na vegetação, [L]
- SF perda de carga
- s soma dos erros quadráticos, [L<sup>6</sup> T<sup>-2</sup>]



```
t - tempo, [T]
```

t<sub>p</sub> - tempo desde o inicio da chuva até o pico do hidrograma,
[T]

t<sub>D</sub> - tempo de atraso da bacia hidrográfica, [T]

t<sub>p</sub> - valor corrigido do tempo de atraso da bacia hidrográfica,
[T]

t<sub>R</sub> - tempo de duração da chuva, [T]

t<sub>r</sub> - tempo padrão de duração da chuva, [T]

u - velocidade de escoamento em canais, [L T<sup>-1</sup>]

 $u_t$  - derivada parcial da velocidade com respeito ao tempo,  $[L\ T^{-2}]$ 

 $u_{\chi}$  - derivada parcial da velocidade com respeito à distância,  $[T^{-1}]$ 

 $V_k$  - total de interceptação até o instante  $t_0$  + K $\Delta t$ , [L]

v - coeficiente de correção para o valor do parâmetro a

 $v_k$  - velocidade de escoamento durante o ciclo K, [L T<sup>-1</sup>]

x - distância ao longo do canal, [L]

W<sub>50</sub> - largura do hidrograma tomada na ordenada correspondente a 50% da vazão de pico, [T]

W<sub>75</sub> - largura do hidrograma tomada na ordenada correspondente a 75% da vazão de pico, [T]

γ - peso específico, [L<sup>-2</sup> M T<sup>-2</sup>]

 $\Delta_{t}$  - intervalo de tempo, [T]

υ - viscosidade cinemātica, [L² T<sup>-1</sup>]



- ρ massa especifica, [L<sup>-3</sup>M]
- $\tau$  tensão de cisalhamento, [L<sup>-1</sup> M T<sup>-2</sup>]



#### RESUMO

Um modelo matemático dinâmico, representando o comporta mento de uma bacia hidrográfica após a ocorrência de uma precipitação, é apresentado. O modelo é resolvido pela técnica de simulação de sistemas e a computação numérica é feita através de um computador digital.

Dadas as características da bacia e as da chuva, o mode lo fornece o estado do sistema em intervalos sucessivos de tempo. Tal estado é caracterizado, entre outras coisas, pelo nivel de água nos di versos pontos da bacia, velocidade do escoamento mos canais de drenagem e vazão na saida da bacia.

A avaliação do modelo é feita através de um método consagrado em Hidrologia, o Método de Snyder, que também é descrito neste trabalho.

Os resultados obtidos evidenciam que a aplicação da téc nica de simulação de sistemas é viável na solução de problemas em Hidro logia.



#### ABSTRACT

A dynamic mathematical model representing the behavior of a drainage basin is presented. The numeric technique employed to solve the model is a system simulation and the numerical computation is carried out by means of a digital computer.

Given the characteristics of the basin and the rainfall, the model shows the state of the system as a function of time. Such a state is characterized, among other things, by the water depth at any point of the basin, the velocity of the streams, and the discharge at the mouth of the basin.

The performance of the model is judged with the help of a well established method in Hydrology - Snyder's Method -, which is also described.

The results obtained demonstrate that the use of system simulation techniques is feasible for the solution of problems in Hydrology.



## INTRODUÇÃO

O trabalho aqui apresentado aborda um problema na área de Hidrologia, no qual se estuda o comportamento de uma bacia hidrográfica quando são conhecidos seus parametros relevantes. Segundo Chow (1964), uma bacia hidrográfica é um sistema aberto tendendo à uma morfologia invariante. Um sistema aberto importa e exporta matéria e energia através de suas fronteiras e precisa transformar energia continuamente para se manter em operação. Numa bacia de drenagem, a superfície com preendida dentro dos limites do perímetro da bacia constitue uma fronteira do sistema, através da qual a precipitação é importada. Descarga sólida e excesso de precipitação deixam o sistema através da saída da bacia.

Um sistema pode ser estudado atraves de experimentação. Entretanto, muitas vezes, essa possibilidade se mostra inviavel, por problemas de custo, risco, tempo, etc. Nestes casos, a análise deve ser conduzida utilizando-se de modelos, os quais constituem o conjunto de informações sobre o sistema, necessárias para os propositos do estudo.

Em muitos estudos, para se alcançar os objetivos propos

tos, não é necessário considerar todos os aspectos do sistema. Portanto,

um modelo é uma representação simplificada do mesmo. Nestes termos, o mo

delo aqui apresentado não leva em consideração, entre outras coisas, a

descarga sólida anteriormente citada, pois ela não é relevante aos pro

positos estabelecidos. Também considera-se a hipotese de estar a bacia hidrográfica com sua morfologia invariante durante o tempo de estudo.

Dentre as características do modelo proposto, pode-se di zer que se trata de um modelo matemático, pois as partes do sistema são nele representadas por funções matemáticas. Além disso, tal modelo é di nâmico, pois representa um sistema que não está em equilíbrio, já que seu estudo é feito durante a fase transitória compreendida desde o início da precipitação até o final do escoamento do excesso de chuva.

Um modelo pode ser resolvido analiticamente ou, se neces sario, numericamente, dependendo da sua natureza. Observa-se no modelo em questão que foi utilizada uma solução numerica. Uma vantagem deste tipo de solução e a de permitir a adoção de um menor numero de hipote ses simplificadoras, além de, em certos casos, ser a unica forma passível de aplicação.

A tecnica de resolver um modelo matemático dinâmico atra ves de solução numerica que permite o conhecimento do estado do sistema ao longo do tempo, e chamada simulação de sistemas (Gordom, 1969). Como foi visto, o modelo em apreço e matemático, dinâmico e e resolvido nume ricamente. Além disso, ele fornece o estado da bacia hidrográfica em qualquer instante. Consequentemente a técnica utilizada na solução do modelo e uma simulação de sistemas.

#### GENERALIDADES

A Hidrologia e a parte da ciencia que se preocupa com a ocorrência e movimento das aguas, suas propriedades químicas e físicas e sua interação com o meio ambiente (Eagleson, 1970).

#### 1.1 - Ciclo Hidrologico

O movimento cíclico das aguas dos mares e rios para a at mosfera e a consequente precipitação denomina-se Ciclo Hidrológico (Wilson, 1969), o qual é esquematizado na Figura 1.1.

## 1.2 - Modelo para Simulação da Dinâmica do Escoamento

O trabalho aqui apresentado trata uma parte do Ciclo  $H\underline{i}$  drológico, mais precisamente, aquela relacionada com o movimento das  $\underline{a}$  guas sobre e sob a superfície da terra.

Em outras palavras, o modelo criado procura representar fisicamente e simular, de uma forma dinâmica, COMO e PARA ONDE escoam as aguas das chuvas. Desta maneira, este modelo sera referenciado como Modelo SDE (Simulação da Dinâmica do Escoamento). Consequentemente, somente a parte do Ciclo Hidrológico relacionada com a chuva e suas conse

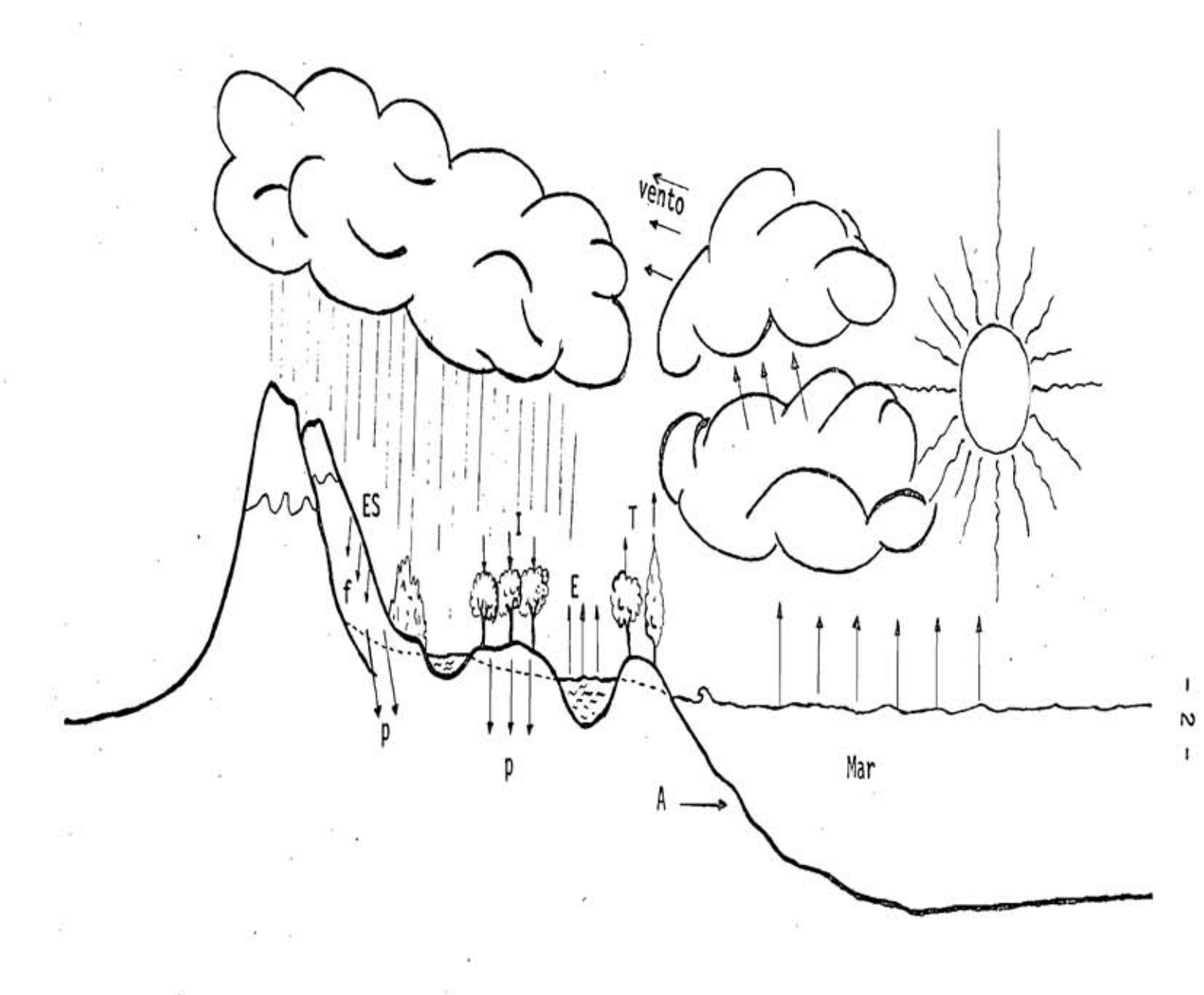


Figura 1.1 - Ciclo Hidrológico (onde ES significa escoamento superficial, I interceptação, E evaporação, T transpiração, f infiltração, p percolação, A fluxo do aquífero).

quências imediatas será tratada. Por este motivo, os fenômenos que  $po\underline{u}$  co influenciam esta parte do ciclo não serão considerados. Esta  $\underline{e}$  a  $\underline{r}\underline{a}$  zão do modelo não se preocupar especificamente com o movimento das  $\underline{a}$  guas subterrâneas.

Também a possibilidade da precipitação ser em forma de neve não serã levada em conta. Isto porque no Brasil são desprezíveis as ocorrências deste tipo de precipitação.

#### 1.3 - Metodo de Snyder

Para uma avaliação do Modelo SDE implementou-se um outro, que, a princípio deveria apresentar resultados comfiaveis. Desta manei ra, tal modelo deveria estar baseado essencialmente em técnicas já con sagradas e suficientemente testadas. Nestas condições, o método de Snyder (Snyder, 1938) mostrou-se o mais indicado.

Em poucas palavras, o metodo de Snyder consiste em obter alguns pontos do hidrograma de uma determinada precipitação - Figura 1.2. O calculo destes pontos é baseado em alguns marametros da bacia hidrografica e da chuva.

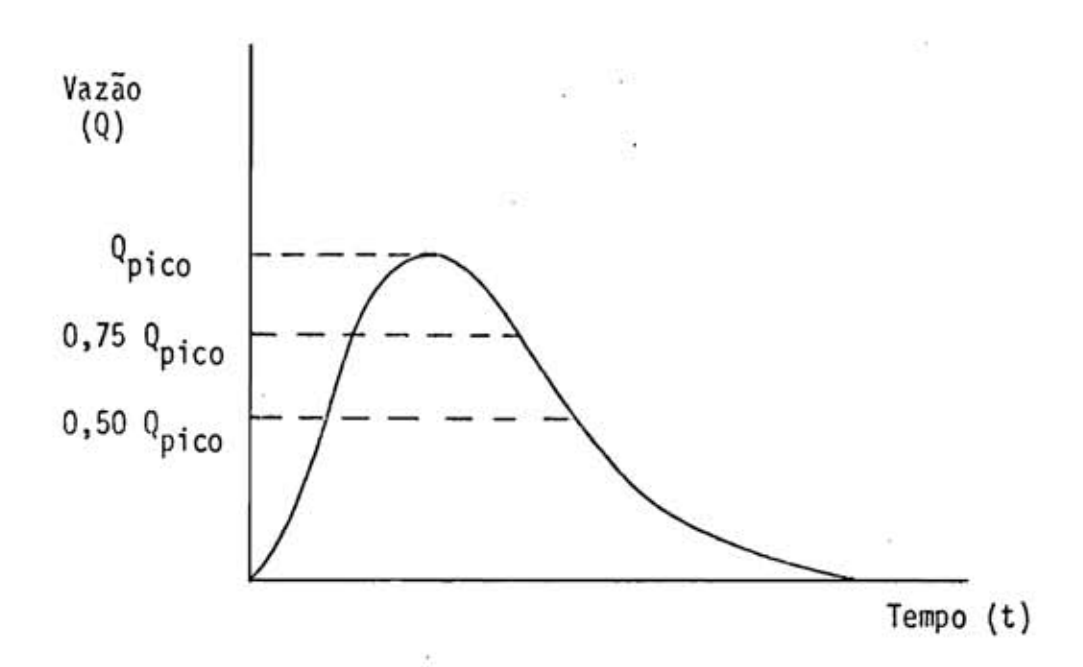


Figura 1.2 - Hidrograma segundo Snyder

# 1.4 - Avaliação dos Resultados

A avaliação preliminar do Modelo SDE, por comparação de hidrogramas obtidos do mesmo com hidrogramas gerados pelo metodo jã con sagrado de Snyder, e necessária, principalmente, pelo fato de não ser ele simplesmente um refinamento de anteriores. Em outras palavras, o Modelo SDE aborda o fenômeno de escoamento de águas de uma forma diferente das encontradas na bibliografia.

A utilização de hidrogramas para avaliação de modelos é valida, pois, como se sabe, o comportamento da vazão com o tempo forne ce uma ampla gama de informações. Entre outras coisas, ele permite de terminar com razoavel precisão o formato e inclinação da bacia e o tem po de chuva.

Neste ponto deve-se dizer que o Modelo SDE fornece muito mais informações do que o método de Snyder. Enquanto este último permite somente a construção de um hidrograma, o primeiro da a situação física da bacia em qualquer instante. Por situação física entenda-se o nível de agua em qualquer ponto, a velocidade de escoamento nos canais de drenagem e a ordenada do hidrograma da bacia entre outras coisas.

### MODELO SDE

### 2.1 - Considerações Gerais

O Modelo SDE aborda uma parte do ciclo hidrologico, qual seja, aquela compreendida entre a precipitação e o subsequerte escoamen to sobre e sob a superfície. A Figura 2.1 ilustra a sequência dos feno menos que o Modelo SDE procura simular de uma forma dinâmica. As principais variáveis consideradas no modelo são: precipitação, escoamento su perficial, interceptação, infiltração e evaporação.

Como se pode acompanhar pela Figura 2.2, do total de <u>a</u> gua que se precipita sobre a superfície, uma parte se perde, através da evaporação e interceptação pela vegetação; uma outra parte se infiltra e a restante se escoa superficialmente, formando a corrente superficial. Da quantidade infiltrada, uma parte percola até o aquifero e outra escoa próximo à superfície, constituindo a corrente sub-superficial. Par te dessa corrente pode retornar rapidamente à superfície, passando a constituir, juntamente com a corrente superficial, o fluxo dineto. O restante da corrente sub-superficial junta-se ao fluxo do aquifero, constituindo o fluxo de base. Finalmente o fluxo direto com o fluxo de base constituem o fluxo total. O Modelo SDE aborda o fenômeno da precipitação de acordo com o acima descrito.

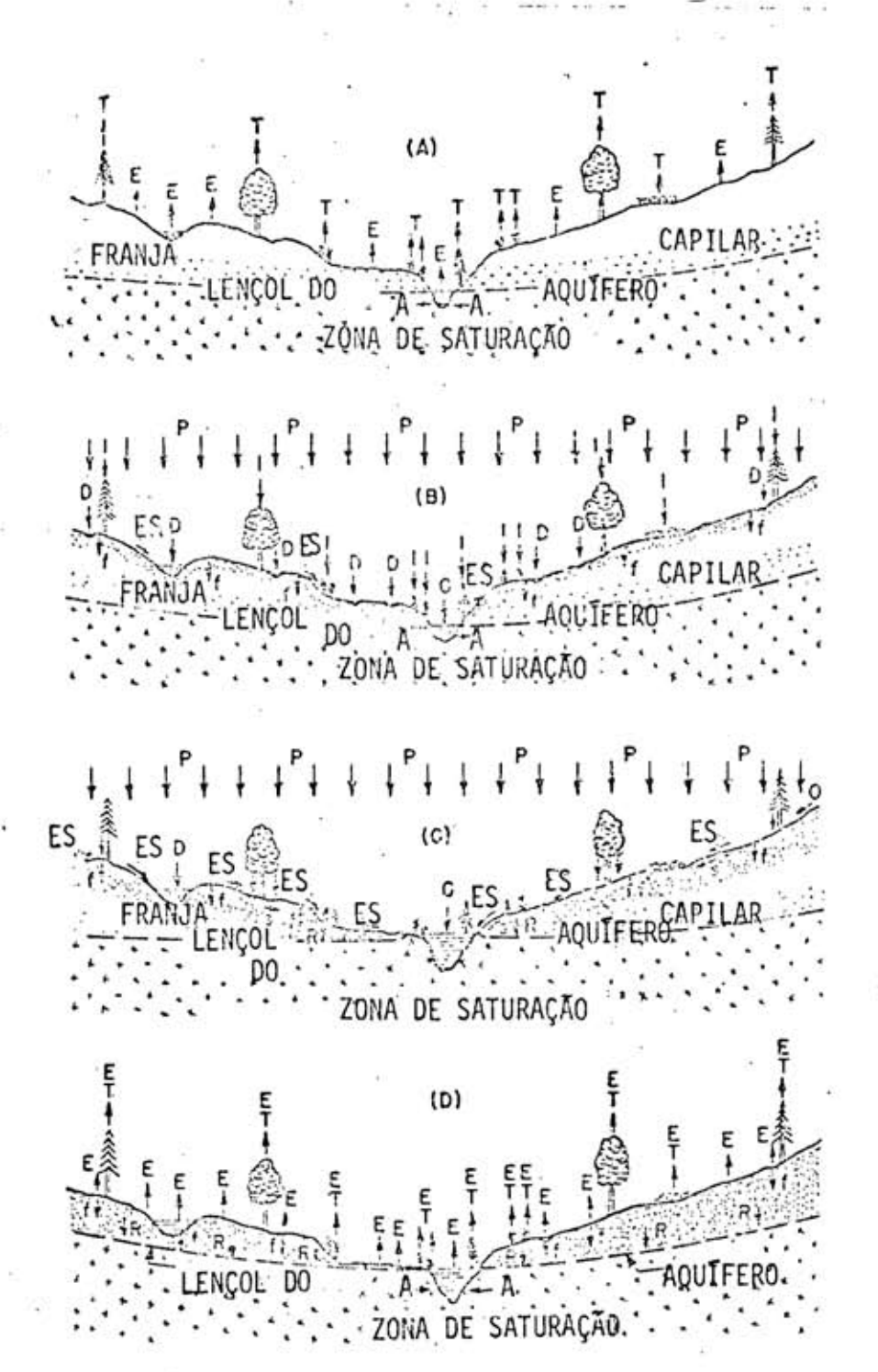


Figura 2.1 - Sequência de Cortes, representando Instantes Característicos de cada Fase do Ciclo do Escoamento (onde T significa trans piração, E evaporação, A fluxo do aquifero, P precipitação, I interceptação, D armazenamento nas depressões, ES escoamen to superficial, f infiltração, C precipitação em canais, S escoamento sub-superficial, R recarga do aquifero).

Fonte: Linsley et al. (1949).

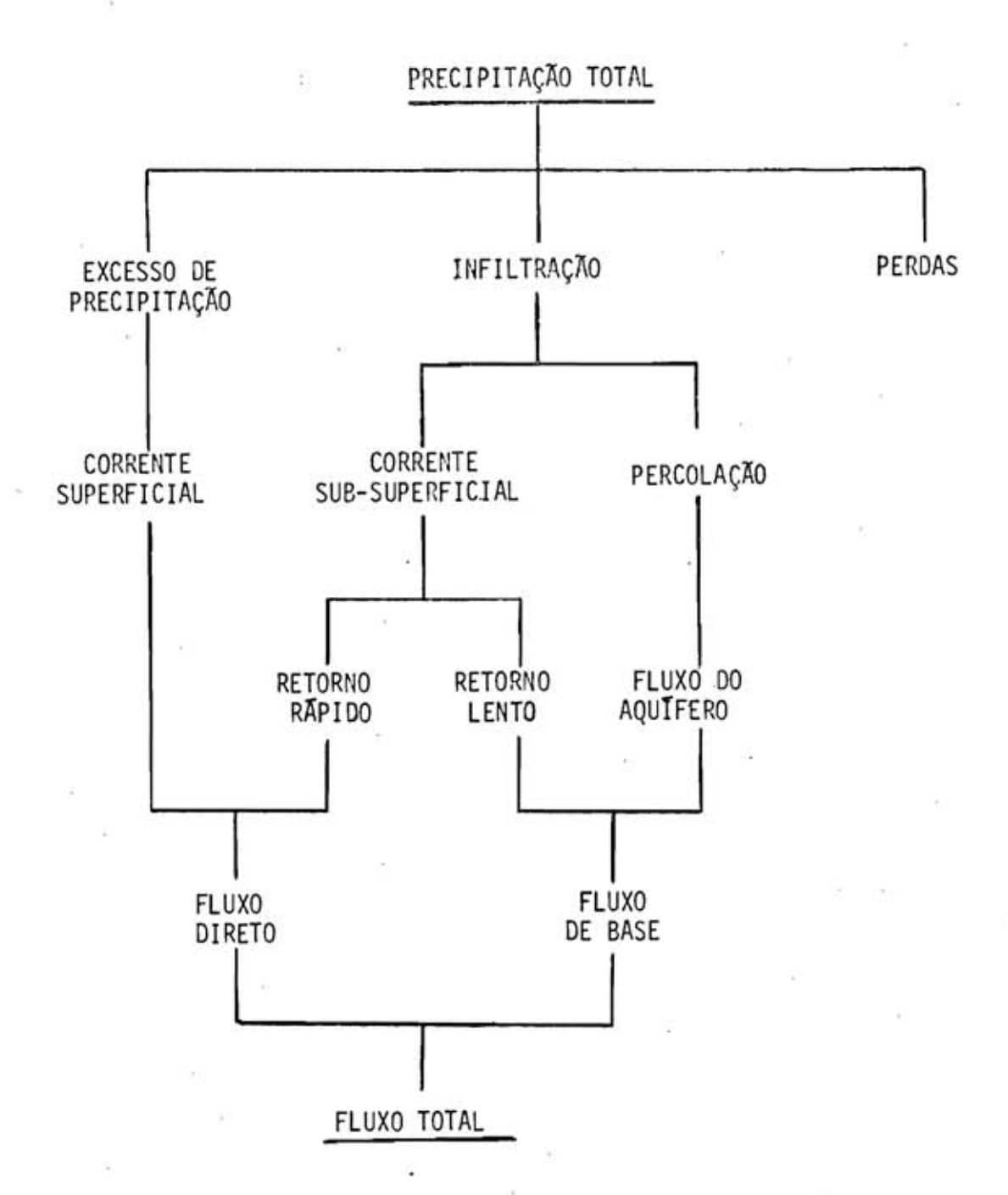


Figura 2.2 - Árvore de Decomposição da Precipitação

De uma forma simplificada, a Figura 2.3 esquematiza (Modelo SDE.

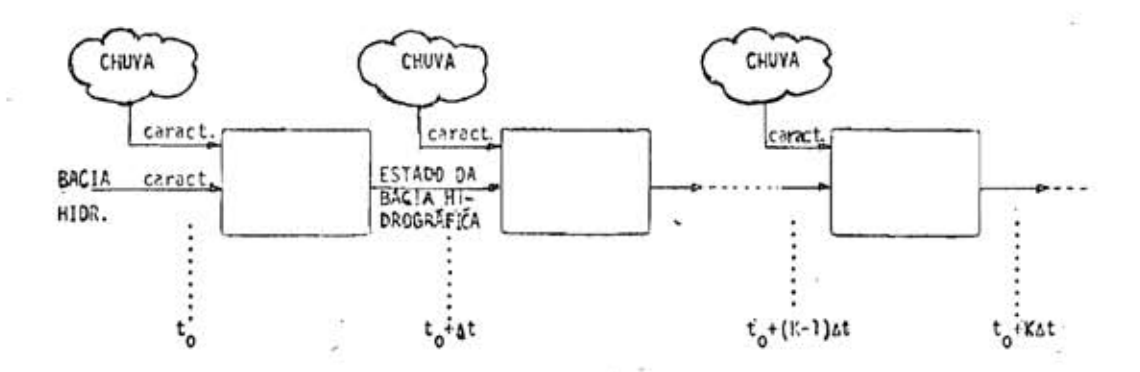


Figura 2.3 - Modelo SDE (Esquema Simplificado)

Dadas as condições de uma bacia hidrografica num certo instante  $\underline{t}$  (condições estas função das características da bacia e da chuva), o Modelo SDE se preocupa em determinar as condições no instante  $\underline{t}$  +  $\Delta t$ . As modificações que se processam entre os instantes  $\underline{t}$  e  $\underline{t}$ + $\Delta t$  baseiam-se nas características físicas do fenômeno do escoamento de  $\underline{a}$  guas.

Portanto, o Modelo SDE se preocupa em saber como se processam e quais são as alterações ocorridas na bacia hidrográfica, de instante para instante. Esta é a característica principal do Modelo SDE. Resumindo, pode-se dizer que tal modelo procura simular o comportamento dinâmico do fenômeno do escoamento de águas, levando em consideração seus aspectos físicos.

#### 2.2 - Entradas e Saídas do Modelo SDE

Como se pode observar na Figura 2.3, as entradas do mode 1o são as características da bacia hidrográfica e as da <u>chuva</u>.

As principais características de interesse para o estudo (a maioria das quais consideradas pelo modelo SDE) são as seguintes:

### Bacia Hidrografica:

- . relevo
- . capacidade de infiltração
- . capacidade de armazenamento nas depressões
- . rede de drenagem (rios, canais, etc)
- reservatórios hídricos (lagos, açudes, etc)
- . area total
- . areas cobertas com diferentes vegetações
- . āreas urbanas
- . forma da bacia
- . declividade inclinação
- . taxa de evaporação
- . tipo de solo

#### Chuva:

- . intensidade da precipitação como função do tempo
- . distribuição da precipitação em relação a bacia

# . precipitação precedente

Entende-se por estado da bacia hidrográfica, representa do na Figura 2.3 como saída do Modelo SDE, o conjunto das características abaixo descritas:

- . nivel de agua em qualquer parte da bacia
- . velocidade do escoamento superficial
- . velocidade do escoamento nos canais de drenagem
- vazão em qualquer ponto dos canais de drenagem, inclusive na saí
   da da bacia hidrográfica, possibilitando a confecção do hidrogra
   ma.

### 2.3 - Estrutura Básica

A dificuldade que surge, frequentemente, na analise comportamento de um sistema é a de estabelecer um modelo que represente, da melhor maneira possível, a realidade do fenômeno em estudo. Quando se pretende que este modelo simule o fenômeno, esta dificuldade fica ainda maior, por exigir que o modelo se torne o mais flexível possível no que diz respeito as suas entradas. Isto porque Simulação pode ser muito bem conceituada ao se procurar responder a pergunta "Que aconteceria se ..." (Parker, 1969). Alem disto, se o fenômeno estudado for físico e ger amplamente outros fenomenos da mesma natureza, o problema que apare ce e a composição harmônica dos aspectos isolados em termos globais. Ge ralmente, estes aspectos ja estão bem estudados e se encontram estruturados na bibliografia. Assim e que se conhece razoavelmente a natureza da infiltração, movimento de aguas sobre e sob a superficie, evaporação, insolação, etc. Mas quando o problema for o estudo do fenômeno global, levando em conta todos estes aspectos, resultados aparentemente parado xais podem ser obtidos devido a interação entre os componentes isolados. Assim, em geral, a soma dos efeitos que seriam observados isoladamente não é igual ao comportamento do todo. No entanto, para intervalos de tempo suficientemente pequenos, pode-se estudar isoladamente todas as partes e superpor os resultados para estes intervalos de tempo.

Esta solução é particularmente interessante em modelos dinâmicos, os quais representam sistemas quando em funcionamento. Desta

maneira, pode-se saber o estado destes sistemas em um instante qualquer (na realidade, em um intervalo de tempo qualquer).

Por outro lado, existem as influências posicionais (varia ção das características de ponto a ponto) e a solução é a adoção do estudo local através do particionamento da região em observação. Esta rede permitirá a divisão da região em sub-regiões, mutuamente excludentes e exaustivas, que serão chamadas de células.

Do exposto acima, conclui-se que o Modelo SDE devera com por todos os fenômenos hidrológicos relacionados, para um intervalo par ticular de tempo e para uma celula particular da região.

A varredura celula-celula num intervalo de tempo será chamada de ciclo para este intervalo. O ciclo K então transformara os valores das variaveis em todos os pontos do relevo mo instante  $t_0 + (K-1) \Delta t$  nos seus respectivos valores no instante  $t_0 + K \Delta t$ , onde  $t_0$  e o tempo de início do estudo e  $\Delta t$  e o intervalo de tempo adotado. A Figura 2.4 ilustra o conceito acima.

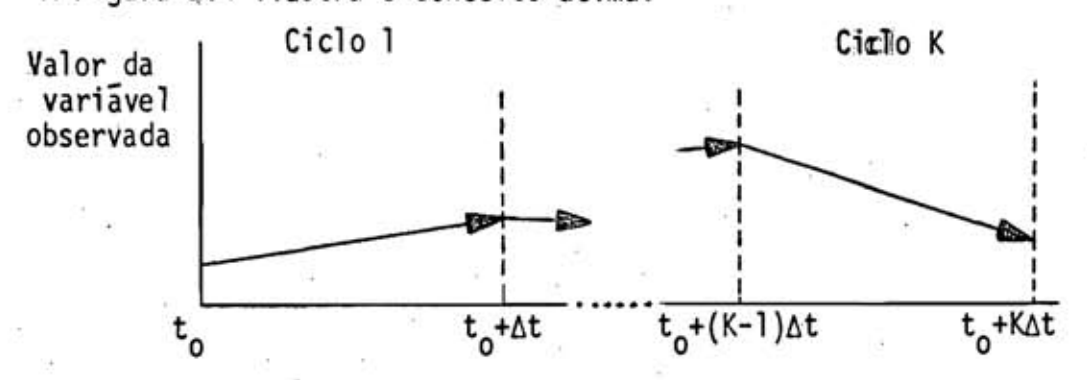


Figura 2.4 - O Ciclo K

As variaveis principais são o nível de agua na celula, velocidade local de escoamento, taxa de infiltração, etc.

Considere-se, por exemplo, a célula (i, j) e suas vizinhas, como na Figura 2.5.

	(i-1, j)	
(i, j-1)	(i, j)	(i, j+1)
	(i+1, j)	

Figura 2.5 - A Celula (i, j) e suas Vizinhas

Da quantidade total de agua encerrada na celula (i,j) no instante  $t_0 + (K-1) \Delta t$ , uma parte deslocar-se-a para as vizinhas mais baixas, outra ira se evaporar, uma terceira infiltrar-se-a e uma ultima ficara retida. Alem disto, a celula recebe agua da queda de chu va direta, ja descontada a parte interceptada pela vegetação e das vizinhas mais altas. A quantidade de agua nesta celula no instante  $t_0 + K\Delta t$  sera, portanto, o balanço das entradas e saídas mencionadas. Em consequência, a transformação envolvida no ciclo K sera:

$$q_k = q_{k-1} - d_b - e - f + c + d_a$$
 (2.1)

onde  $q_k$  - quantidade de agua no instante  $t_m$  + K $\Delta$ t

 $q_{k-1}$  - quantidade de agua no instante  $t_{\varpi}$  + (K-1) $\Delta t$ 

d<sub>b</sub> - parte que se desloca para as vizimhas mais baixas

e - parte que se evapora

f - parte que se infiltra

c - chuva direta sobre a célula

d<sub>a</sub> - contribuição das vizinhas mais alitas

O mesmo raciocínio pode ser estendido às outras variá veis, como se verá nas seções posteriores.

# 2.4 - Descrição do Modelo

A descrição do Modelo SDE será baseada na Figura 2.6, na qual se encontra um fluxograma propositadamente resumido de maneira a facilitar a compreensão dos diversos passos envolvidos no modelo. Um fluxograma com um nível maior de detalhamento é encontrado no Apêndice A.

#### O processamento se desenvolve da seguinte maneira:

a

Inicialmente são lidos os dados de entrada. Estes dados consistem das características da bacia hidrográfica e da chuva (v. seção 2.2) já digitalizadas. Esta digitalização compreende, por exemplo, a as sociação do relevo a uma matriz onde são armazenadas as cotas das células (v. seção 2.3). Por sua vez, a rede de drenagem é representada por outra matriz, na qual a distinção entre os diversos tipos de células é feita através da tabela 2.1.

Os outros dados usados no processamento são os coeficientes e par<u>a</u> metros necessários para caracterizar as propriedades hidráulicas de uma celula e da bacia como um todo. Com relação às celulas, os da dos consistem de suas dimensões, coeficiente de rugosidade de Manning e taxa de infiltração. Os dados da bacia incluem a porcenta

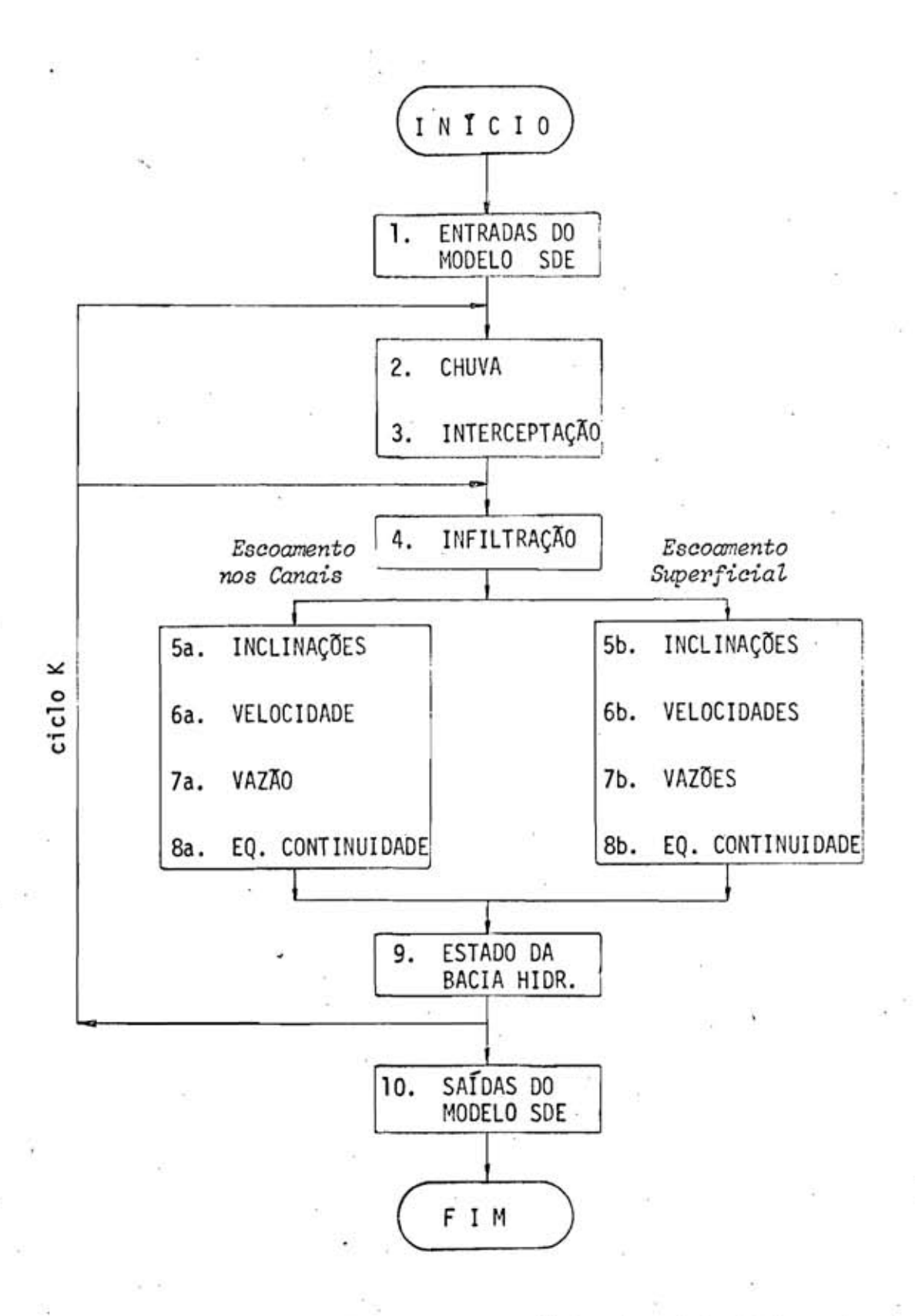


Figura 2.6 - Fluxograma Esquemático do Modelo SDE

gem de area com vegetação em relação à area total, capacidade de ar. mazenamento na vegetação e a taxa de evaporação. Com respeito à chu va, é fornecido o hietograma para cada célula.

Tabela 2.1 - Digitalização do Tipo de Célula

Tipo de Celula	Digito Associado	
Não pertencente a um canal	0	
Pertencente a um canal	1	
Não pertencente à bacia hidrográfica	2	

 A quantidade de agua, em altura, e adicionada a todas as células de acordo com o hietograma:

$$H_{K_1} = H_{K-1} + I_K \cdot \Delta t$$
 (2.2)

onde H<sub>K1</sub> - altura de agua após a precipitação

 $H_{K-1}$  - altura de agua no instante  $t_0$  + (K-1)  $\Delta t$ 

I<sub>K</sub> - intensidade da chuva no intervalo de tempo compreendi do no ciclo K

Δt - intervalo de tempo

 A interceptação é computada pela expressão 2.3 sugerida por Horton (1919).

$$V_K = (S_v + C_p E_a t_R) (1 - e^{-b \cdot P})$$
 (2.3)

onde  $V_K$  - total de interceptação até o instante  $t_o$  + K  $\Delta t$ 

 ${\bf S}_{f V}$  - capacidade de armazenamento na vegetação

C<sub>p</sub> - porcentagem de area com vegetação em relação a area to tal

E<sub>a</sub> - taxa de evaporação por unidade de area

t<sub>R</sub> - tempo de duração da chuva

P - quantidade de chuva acumulada ate o final do ciclo K

b - constante dada pela expressão 2.4

$$b = \frac{1}{S_v + C_p E_a t_R}$$
 (2.4)

A quantidade interceptada durante o ciclo K semā, portanto,  $(V_K - V_{K-1})$ . Essa quantidade deve ser subtraída da altura de āgua existente em cada cēlula.

$$H_{K_2} = Max (H_{K_1} - (V_K - V_{K-1}), 0)$$
 (2.5)

onde H<sub>K2</sub> - altura de agua, descontada a interceptação

A infiltração é calculada pela função de Horton (Linsley et al.,
 1949) e subtraída da quantidade de água existente sobre cada célula:

$$H_{K_3} = H_{K_2} - F_{K} \cdot \Delta t$$
 (2.6)

onde H<sub>K3</sub> - altura de agua sobre cada celula apos a infiltração.

 $F_K$  - capacidade de infiltração durante o ciclo K, dada pe la equação 2.7

$$F_K = F_C + (F_O - F_C) e^{-at}$$
 (2.7)

onde  $F_c$  - capacidade de infiltração mínima

Fo - capacidade de infiltração inicial (máxima)

a - coeficiente de amortecimento

t - tempo decorrido desde o início da chuva

No caso em que a quantidade a ser infiltrada for maior do que a altura de agua sobre a celula, faz-se  $H_{K_3} = 0$ .

Neste ponto o ciclo K para o escoamento e iniciado. Aqui, a análise será conduzida levando-se em conta o tipo de celula. Uma celula não pertencente à bacia não será levada em consideração. Se pertencer a um canal serão seguidos os passos 5a, 6a, 7a e 8a, caso contrário

seguir-se-ão os passos 5b, 6b, 7b e 8b.

5a. Calcula-se a inclinação de cada celula na direção do escoamento

$$S = \frac{D}{L} \tag{2.8}$$

onde: S - inclinação - v. figura 2.7

D - diferença de nível entre duas células consecutivas

L - largura da célula

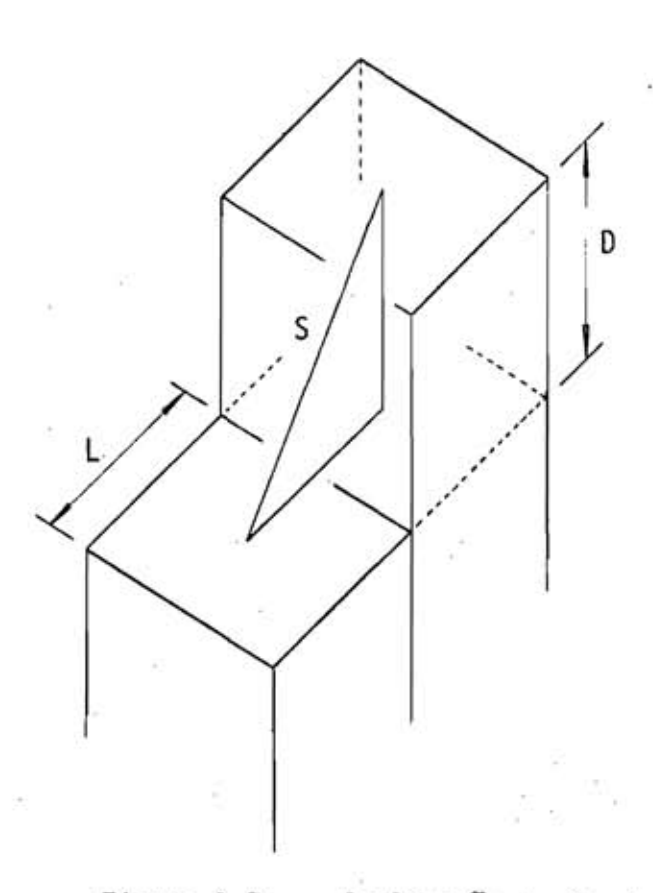


Figura 2.7 - Inclinação no Canal

6a. A velocidade de escoamento e calculada pela formula empírica de Manning (Webber, 1968)

$$v_K = \frac{1,486}{n} r^{2/3} s^{1/2}$$
 (2.9)

onde:  $v_K$  - velocidade de escoamento durante o ciclo K

r - raio hidraulico

n - coeficiente de rugosidade de Manning

Na expressão 2.9, as grandezas se encontram no sistema pes-segundo.

7a. Através da velocidade de escoamento e das dimensões da célula, com puta-se a vazão para o ciclo K.

$$Q_{K} = V_{K} \cdot A_{K} \tag{2.10}$$

onde

Q<sub>K</sub> - vazão para o ciclo K

A<sub>K</sub> - ārea de escoamento relativa ao ciclo K

8a. A equação da continuidade é utilizada para se determinar a quantidade, em altura, da água que permanece na célula, após o escoamen to relativo ao ciclo K

$$H_{K_4} = Max \left[ H_{K_3} - \frac{Q_K \cdot \Delta_t}{A_C} \right], \quad 0$$
 (2.11)

onde: H<sub>K4</sub> - altura de agua que permanece na celula, apos o escoamento

A<sub>c</sub> - ārea da cēlula do canal

Os passos 5b, 6b, 7b e 8b, descritos abaixo serão seguidos caso a célula analisada não pertença a um canal.

- 5b. Calculam-se as inclinações de cada célula nas direções do escoamento, i.e., em relação as vizinhas mais baixas. Esse cálculo é feito analogamente ao passo 5a.
- 6b. O calculo da velocidade de escoamento em cada direção é conduzido de forma analoga ao passo 6a. exceto quanto ao valor do coeficien te de rugosidade de Manning, o qual é específico a cada tipo de célula.
- 7b. As vazões correspondentes a cada direção são computadas de maneira semelhante ao passo 7a.
- 8b. A altura de agua, que permanece na celula apos o escoamento, e calculada pela equação da continuidade

$$H_{K_4} = Max \left[ H_{K_3} - \frac{\sum_{i=1}^{nv} Q_{k_i} \cdot \Delta_t}{A_b}, 0 \right]$$
 (2.12)

fica dada por

$$H_{K} = H_{K_{4}} + h_{k}$$
 (2.15)

onde:  $H_K$  - altura de agua, em cada celula, no instante  $t_o$  + K  $\Delta t$ 

h<sub>k</sub> - soma das contribuições de agua, em altura, provenientes das vizinhas mais altas, relativas ao ciclo K.

O processamento da altura de agua foi separado nos passos 8a, 8b e 9 por motivos didáticos. Entretanto, no Modelo SDE, esses passos são processados ao mesmo tempo. Por outro lado, esse processamento e feito simultaneamente para todas as celulas, visto que se refere ao mesmo instante de tempo.

A vazão na saída da bacia hidrográfica também é calculada, com a finalidade de se obter a k-ésima ordenada do hidrograma resultante.

$$Q_K^S = \frac{h_K^S \cdot A_b}{\Delta t}$$
 (2.16)

onde: Q<sup>S</sup><sub>K</sub> - vazão média durante o ciclo K, calculada na saída da bacia hidrográfica

 $h_k^S$  - altura de agua transferida  $\bar{a}$  saida da bacia dura $\bar{n}$  te o ciclo K

fica dada por

$$H_{K} = H_{K_{4}} + h_{k}$$
 (2.15)

onde:  $H_K$  - altura de agua, em cada celula, no instante  $t_o$  + K  $\Delta t$ 

h<sub>k</sub> - soma das contribuições de agua, em altura, provenientes das vizinhas mais altas, relativas ao ciclo K.

O processamento da altura de agua foi separado nos passos 8a, 8b e 9 por motivos didáticos. Entretanto, no Modelo SDE, esses passos são processados ao mesmo tempo. Por outro lado, esse processamento e feito simultaneamente para todas as celulas, visto que se refere ao mesmo instante de tempo.

A vazão na saída da bacia hidrográfica também é calculada, com a finalidade de se obter a k-ésima ordenada do hidrograma resultante.

$$Q_K^S = \frac{h_K^S \cdot A_b}{\Delta t}$$
 (2.16)

onde: Q<sup>S</sup><sub>K</sub> - vazão média durante o ciclo K, calculada na saída da bacia hidrográfica

 $h_k^S$  - altura de agua transferida  $\bar{a}$  saida da bacia dura $\bar{n}$  te o ciclo K

Para o processamento do ciclo K+1, o sistema  $\tilde{e}$  realimentado com o estado da bacia no tempo  $t_0$  + K  $\Delta t$ . Se durante o ciclo K+1 estiver prevista uma precipitação, o processamento iniciar-se- $\tilde{a}$  a partir do passo 2, inclusive. Caso contrario serão seguidos os passos de 4 a 9.

Este processamento e repetido até se alcançar o tempo reservado para o experimento.

- 10. De acordo com a opção de saída pode-se obter qualquer combinação dos resultados abaixo:
  - . Sequência de instantâneos da superfície compreendida nos limites da bacia
  - . Hidrograma da bacia
  - . Comportamento da interceptação, infiltração e armazenamento nas depressões como função do tempo
  - . Arvore de decomposição da precipitação, mostrando as quantidades acumuladas do excesso de precipitação, da interceptação, da in filtração e do armazenamento nas depressões e as suas porcenta gens relativas à precipitação total.

Além disso, perspectivas da bacia hidrográfica, do tipo mostrado na Figura 2.8, permitiriam um acompanhamento visual das modifica ções que nela ocorrem durante o tempo de estudo.

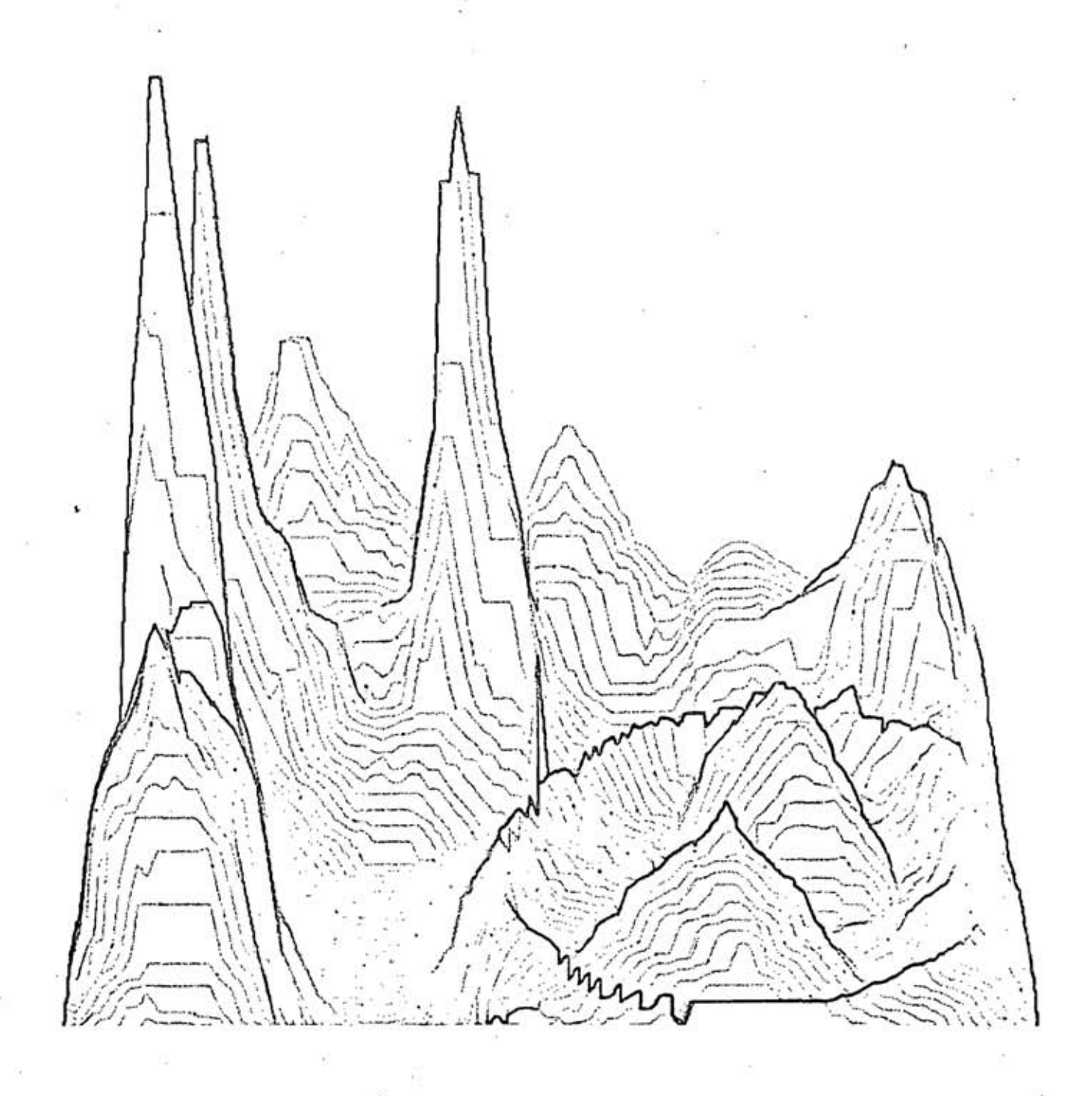


Figura 2.8 - Perspectiva de uma Bacia Hidrográfica.

Desenho obtido, a partir de um relevo digitaliza do, por uma subrotina desenvolvida na DPD, INPE.

# 3. MÉTODO DE SNYDER

# 3.1 - Considerações Gerais

O desenvolvimento de um modelo de simulação na área de Hidrologia - Modelo SDE - trouxe consigo uma dificuldade, qual seja, a avaliação de sua performance. Isto se deve, primeiramente, à aparente não existência de modelos nesta área que forneçam o mesmo tipo de resultado, e que possibilitem uma comparação. Além disto, a avaliação no cam po mostrou-se inviavel, devido à dificuldade de se obter alguns dados, tais como características de bacias hidrográficas e respectivos hidrogramas.

Como solução, utilizou-se o metodo de Snyder, para possibilitar uma avaliação do Modelo SDE. Este metodo baseia-se em equações empíricas para gerar hidrogramas.

Tais equações utilizam apenas certas características da bacia hidrográfica em estudo, sendo estas características de fácil obtenção.

A avaliação do Modelo SDE através do metodo de Snyder é justificavel pois este é um método classico e consagrado em Hidrologia.

### Descrição do Metodo

O metodo de Snyder consiste basicamente em se determinar, através de equações empiricas (Snyder, 1938), o tempo de atraso da cia hidrografica em estudo e a descarga de pico do hidrograma unitário para um determinado tempo de base.

Com o auxílio destas duas grandezas e mais algumas carac terísticas dos hidrogramas em geral, consegue-se sintetizar um hidrogra ma unitário para a bacia hidrográfica.

### 3.2.1 - As equações de Snyder

Snyder desenvolveu, em 1938, baseado em dados obtidos de uma determinada bacia hidrográfica, um conjunto de equações relacionan do características daquela bacia. Tais equações se mostraram aplicaveis a outras regiões, bastanto para isto, que se escolhessem convenientemen te alguns coeficientes.

As equações correspondentes ao tempo de atraso da bacia e descarga de pico são, repectivamente:

$$t_p = C_t (L.L_{ca})^{0,3}$$
 (3.1)

$$t_p = C_t (L.L_{ca})^{0,3}$$
 (3.1)  
 $e Q_p = 640 \frac{C_p A}{t_p}$  (3.2)

onde: t<sub>n</sub> - tempo de atraso da bacia, em horas

Q<sub>p</sub> - descarga de pico do hidrograma unitario, em pes cubi cos por segundo

Ct - coeficiente adimensional que representa diferenças na inclinação e armazenamento de canal entre bacias

C<sub>p</sub> - coeficiente adimensional que representa o efeito da in clinação e armazenamento de canal no escoamento da bacia

A - area da bacia em milhas quadradas

 L - comprimento do canal principal desde a saída da bacia (estação medidora) até a nascente, em milhas

L<sub>ca</sub> - comprimento ao longo do canal principal desde a saída da bacia até o ponto mais próximo do centróide da área de drenagem, em milhas.

E importante acrescentar que as equações 3.1 e  $^\circ$ 3.2 são validas para uma duração do excesso de chuva ( $t_R$ ) igual a  $t_p/5$ ,5.

Este tempo de duração padrão denota-se por t<sub>r</sub>. Então

$$t_r = t_p/5,5$$
 (3.3)

Para valores de  $t_R$  maiores do que  $t_r$  deve-se corrigir o valor de  $t_p$  (Linsley et al., 1949), ou seja, faz-se

$$t_p' = t_p + \frac{t_R - t_r}{4}$$
 (3.4)

onde  $t_p$   $\tilde{e}$  o valor corrigido de  $t_p$ .

Com auxílio das equações 3.3 e 3.4 e da definição de tempo de atraso, obtém-se então o tempo desde o início da chuva até o pico do hidrograma -  $t_p$  - qual seja,

$$t_p = \frac{21}{22} t_p + 0.75 t_R$$
 (3.5)

### 3.2.2 - Sintese do Hidrograma Unitário

Através do estudo de um grande número de bacias de drena gem obteve-se algumas relações para a determinação da largura do hidro grama unitário nas coordenadas correspondentes a vazões de 50% e 75% da vazão de pico (Corps of Engineers, 1959). Tais relações são, respectiva mente:

$$W_{50} = \frac{830}{(Q_p/A)^{1,1}} \tag{3.6}$$

$$W_{75} = \frac{470}{(Q_p/A)^{1,1}} \tag{3.7}$$

onde  $W_{50}$  e  $W_{75}$  são as larguras do hidrograma em moras, tomadas a 50% e 75% da vazão de pico, respectivamente. As grandezas  $Q_p$  e A  $j\bar{a}$  foram vistas na seção 3.2.1.

Um estudo feito por Hudlow e Clark (1969) indicou que,

De posse destes sete pontos, resta agora ajustar uma cur va adequada a eles, para se obter um hidrograma unitário completo. Es forços consideráveis já foram feitos para se determinar a curva que me lhor se ajuste a estes pontos, tomando-se o cuidado de conservar as ca racterísticas do hidrograma unitário. Dentre estas características, a mais importante, deve-se ressaltar, e a restrição de que a área encerra da sob a curva deve ser igual, numericamente, à área da bacia.

De um dos estudos feitos neste sentido chegou-se à con clusão que a função Pearson tipo III é a mais apropriada para o ajuste aos sete pontos (Hudlow e Clark, 1969).

Esta função pode ser expressa da seguinte maneira:

$$Q = Q_p \left(\frac{t}{P_r}\right)^a \exp\left[\frac{-(t-P_r)}{c}\right]$$
 (3.8)

onde Q - vazão, em pes cubicos por segundo, em qualquer instante t

t - tempo, em horas, desde o início da chava

Q - vazão de pico do hidrograma unitário, em pes cúbicos: por segundo

P. - período de ascenção do hidrograma, em horas

a - constante adimensional a ser determimada

c - constante a ser determinada, expressa em horas

A técnica utilizada para o ajuste da função Pearson tipo

De posse destes sete pontos, resta agora ajustar uma cur va adequada a eles, para se obter um hidrograma unitário completo. Es forços consideráveis já foram feitos para se determinar a curva que me lhor se ajuste a estes pontos, tomando-se o cuidado de conservar as ca racterísticas do hidrograma unitário. Dentre estas características, a mais importante, deve-se ressaltar, e a restrição de que a área encerra da sob a curva deve ser igual, numericamente, à área da bacia.

De um dos estudos feitos neste sentido chegou-se à con clusão que a função Pearson tipo III é a mais apropriada para o ajuste aos sete pontos (Hudlow e Clark, 1969).

Esta função pode ser expressa da seguinte maneira:

$$Q = Q_p \left(\frac{t}{P_r}\right)^a \exp\left[\frac{-(t-P_r)}{c}\right]$$
 (3.8)

onde Q - vazão, em pes cubicos por segundo, em qualquer instante t

t - tempo, em horas, desde o início da chava

Q - vazão de pico do hidrograma unitário, em pes cúbicos: por segundo

P. - período de ascenção do hidrograma, em horas

a - constante adimensional a ser determimada

c - constante a ser determinada, expressa em horas

A técnica utilizada para o ajuste da função Pearson tipo

III, sujeita à restrição da área, foi a dos mínimos quadrados e o procedimento envolvido, embora se trate de uma função particular, se aplica a qualquer tipo de função que conduza a equações normais não lineares. Esta técnica está descrita no apêndice B.

Com a obtenção da curva que se ajusta aos sete pontos, satisfazendo a condição de área, o hidrograma unitário fica completamen te determinado.

# EXEMPLO DE APLICAÇÃO

### 4.1 - Escolha da Área de Teste

Para a avaliação do Modelo SDE, deparou-se inicialmente com duas alternativas na escolha da área de teste. A primeira seria to mar uma bacia real e se recolher todos os dados de interesse. A outra seria considerar uma bacia fictícia, embora com características consistentes com as da realidade, para os propósitos dessa avaliação.

Optou-se por esta última alternativa, principalmente por problemas de custo e tempo. A bacia ficticia é definida, então, atribuindo-se valores para os seus parâmetros (v. Tabela 4.1). Por outro la do, dadas as características de uma precipitação, o Modelo SDE possibilita a obtenção do hidrograma correspondente. Esse hidrograma também pode ser obtido pelo método de Snyder (v. Capítulo 3). Dessa maneira, a escolha de uma bacia ficticia se mostra viável no sentido de permitir a avaliação do modelo proposto.

# 4.2 - Parametros da Bacia de Teste

A Figura 4.1 mostra o relevo digitalizado da bacia de teste, suas curvas de nível e a sua rede de drenagem. Uma melhor visão da disposição geográfica da rede de drenagem pode ser obtida da Figura 4.2.

	15
בים בים מהם מהל עום מהם עמה מהל מה מים החי החו היו שיון ליין יון ליין יון ליין און אין און און אין און אין און אין און און אין אין און אין אין און אין אין אין און אין אין אין און אין אין אין אין אין אין אין אין אין אי	1/2 3AD 302 376 70
אני אפר בצב עיקר שמה שתר שמה שמה שה של מחה מה שב מה שב מה שב מו בין	168 SPE 88E 87E 88E
AF 352 36 34 112 UP	1 364 368 38E 38E 392
אל הדנ בבן לוניים מות בחים שמל בחי מות בחים וות יותו בין יותו בין	3 360 360 384 384 36n
410 3 2 274 300 312 4/4 324 19274/2 1/2 1/2 1/2 1/2 1/2 1/2 1/2 1/2 1/2 1	140 360 JHO JH4
0 0 1 0 2 ( 270 17 30 4 30  30 ) 2 1 1 1 1 1 1 1 1 1 1 1 1 1 1 1 1 1 1	-77) 00 360 376 390
10 30 300 212 100 200 100 20 300 34 10 300 10 10 10 10 10 10 10 10 10 10 10 10 1	10 SEE SEE ONE GO   1040
416 345 112 36 100 156 200 14 20 100 100 100 100 100 100 100 100 100	21c PAC DAE DA DE
- 4 10 102 300 300 CM CM ( 23 10 20 104 107 112 1/1 20 100 100 100 100 100 100 100 100 100	10 34 340 364 34H
4 10 540 510 312 300 242 213 14 210 10 15 440 152 152 1 10 260 340 10 26 30 360 360 360 360 360 360 360 360 360	1 252 354/199 1111 1
JU 340 316 312 304 304 74 743 c 774 1 128 1 1 1 1 1 1 1 1 1 1 1 1 1 1 1 1 1	11
ochier the six of the	11110
160 200 Ju 310 110 120 120 1 249 VIII 100 100 11 1 1 1 1 1 1 1 1 1 1 1 1 1	Carlos .
10 5/0 547 756 292 144 1/1 712 264 765 ( C) 1 1 1 1 1 1 1 1 1 1 1 1 1 1 1 1 1 1	30 1/2/03/1/1001
340 1/0 2011 741 1 232 2 20 201 200 200 200 200 200 200 200 2	10/1/20 (306. 1/2-
1 / 250 29 232 224 215 220 18 20 18 20 17 18 17 18 20 18 18 18 18 18 18 18 18 18 18 18 18 18	100 Jac Jac Jan
201 252 AN 229 816 20 129 279 - 122 150 112 15	10 000 00 m
256 24, 224 216 294 29 192 190 190 190 130 150/20 100 100 100 100 100 100 100 100 100 1	0 340 5 340 500
24 214 216 204 2 1 192 144 144 144 1 192 1 100 1 192 144 144 144 147 1 100 100 100 100 100 100 100 100 100	3 340 340 3
232 220 210 230 230 2 1 192 140 10- 120 ( 10 160 ) 100 100 100 100 100 100 100 100 100	3,0 340 -01
224 216 204 204 1 203 142 1 5 14 109 100 100 100 100 100 100 100 100 100	10 10 340 104
216 212 00 140 140 140 140 110 110 110 110 110	340 332
200 2 10 100 100 100 100 100 100 100 100	
204 \$10 10 140 120 120 120 121 20 121 20 120 120 120	1 23-1 240 240 240 (44)
200 141 140 100 112 112 100 100 80	228 216 220 220 END
192 100 112 111 100 100 44 41 41 401 100 100 100 10	1 208 212 228 279 2
188 1 4 1 1 1 1 1 1 1 1 1 1 1 1 1 1 1 1	5 236 295 200 200 200
176 100 100 100 100 80 12 no no 17 70 97 96 190 1/2 100 256 256 248 2- 250 200 200 200	-45 248 248 248
168 63 10 100 00 66 55 Can 248 248 248 248 248 248 248 248 248 248	1 248 252 256 256
160 140 20 AV AD 52 100 14 04 05 AD 70 10 ON AU AN AU AN AU AN AU AN AU AN AU 256 256 256 256	156 256 256 240 1A
100 100 100 10 56 46 2 1 04 28 52 56 60 0 52 52 40 40 08 55 56 72 72 104 104 100 240 240	1 160 740 71/12 134
150 100 104 - U 48 44 4 44 52 56 60 Au 12 . 37 24 24 72 28 20 -0 40 57 52 52 104 100 100	104 104 104 102 17
160 120 105 du no a/. El as 52 54 60 ca/u u o o o o o o o o o o o o o	0 0 0 0 11

# REDE DE DRENAGEM

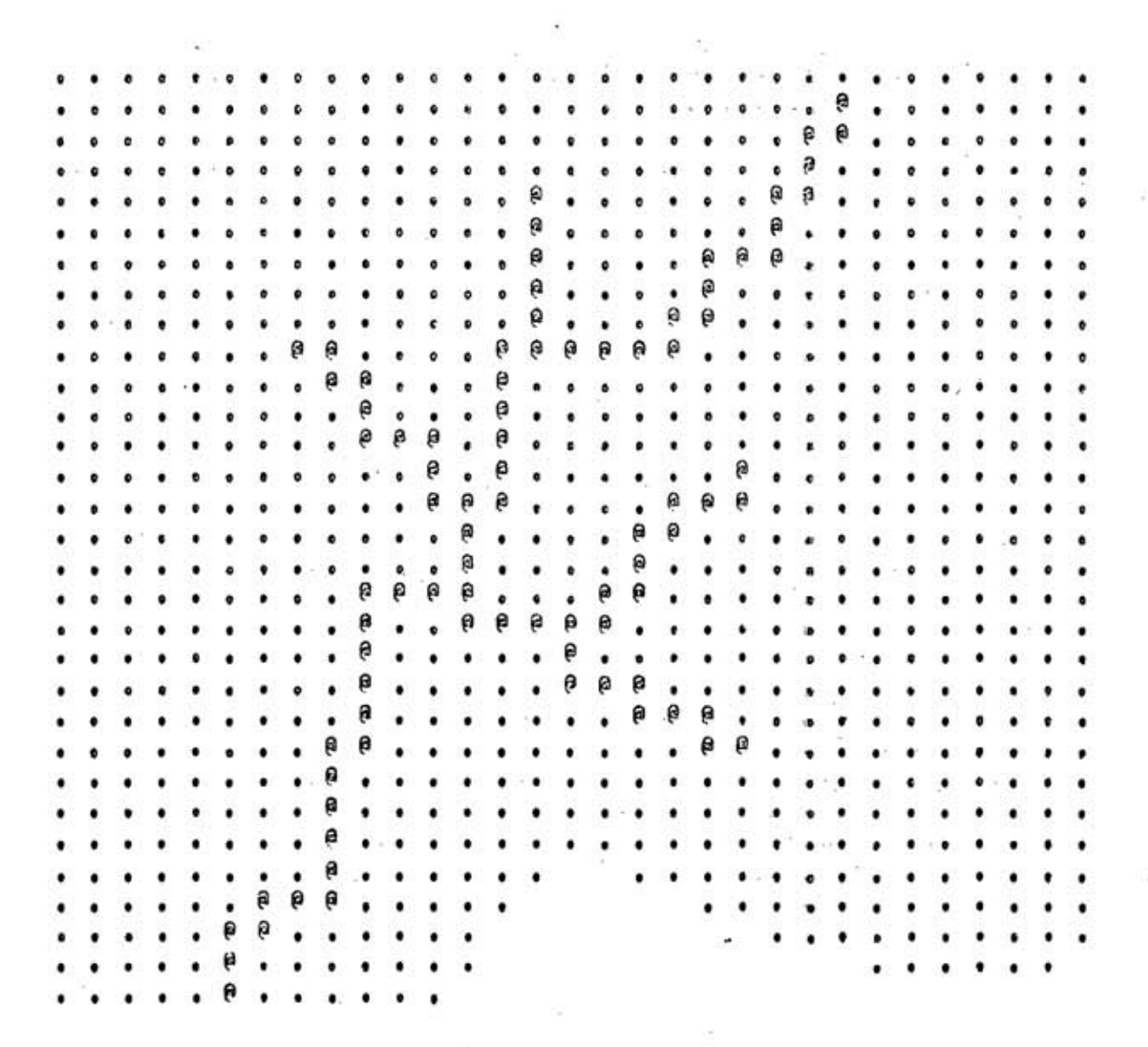


Figura 4.2 - Disposição Geográfica da Rede de Drenagem.

Os valores para os demais parametros acham-se dispostos na Tabela 4.1. Esses valores foram assumidos levando-se em conta ordens de grandeza típicas encontradas na bibliografia. Dessa maneira fica de finida a região em estudo.

Tabela 4.1 - Parâmetros da Bacia de Teste

PARÂMETRO	SIMBOLO	VALOR	UNIDADE
Ārea da bacia	Α	915	km²
Comprimento do canal principal	L	48	km
Distância da saída ao centróide da bacia	L <sub>ca</sub>	24	km
Coeficiente de rugosidade de Manning para escoamento superficial (*)	n	0,10	s/ft <sup>1/3</sup>
Coeficiente de Manning para escoamento nos canais (*)	n	0,02	s/ft <sup>1/3</sup>
Capacidade de armazenamento na vegetação (*)	S <sub>v</sub>	4,08	mm
Porcentagem de ārea com vegetação em relação à ārea total	Ср	100	%
Taxa de evaporação	Ea	0,00254	mm/h
Taxa de infiltração minima (*)	F <sub>c</sub>	7,0	mm/h
Taxa de infiltração máxima (*)	F <sub>o</sub>	40,0	mm/h
Coeficiente de amortecimento (equação de Horton) (*)	a	5,0	1/h
Coeficiente de inclinação e armazenamento de canal relativo à bacia	c <sub>t</sub>	0,6	-
Coeficiente de inclinação e armazenamento de canal relativo a onda de enchente	Cp	0,7	

<sup>(\*)</sup> Parametro com valor constante ao longo da bacia.

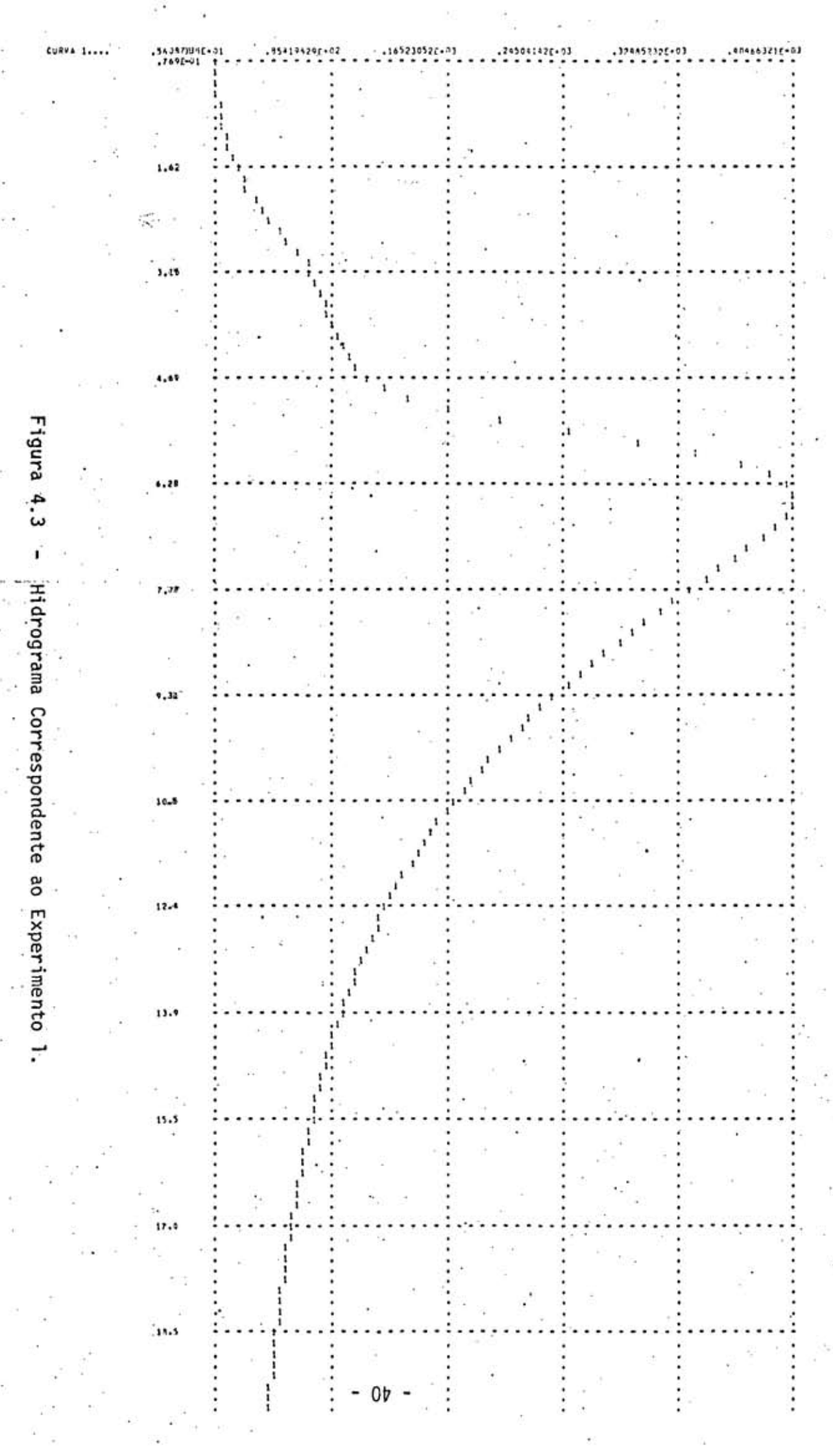
# 4.3 - Experimentos

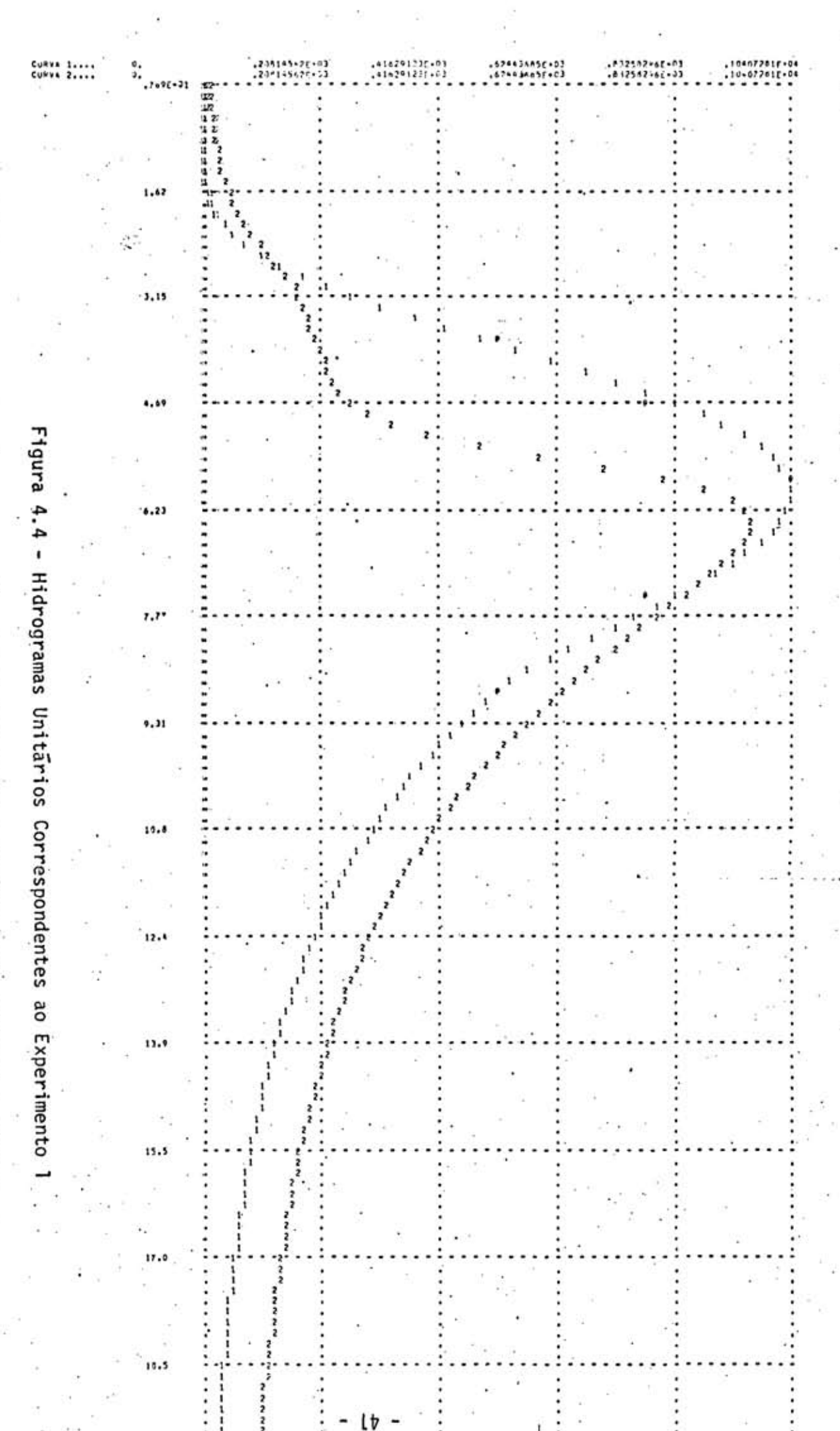
Nos experimentos que se seguem, a intensidade da precip $\underline{i}$  tação  $\underline{\tilde{e}}$  considerada constante ao longo da bacia e durante todo o tempo de duração da chuva.

# Experimento 1:

•	Duração do experimento20	horas
٠	Duração da precipitação3	horas:
•	Intensidade da precipitação20	mm/h
	Intervalo de tempo	min
	Largura da celula1.000	m

Figuras 4.3, 4.4 e 4.5.





(A curva 1 foi obtida pelo metodo de Snyder e a curva 2 pelo Modelo SDE).

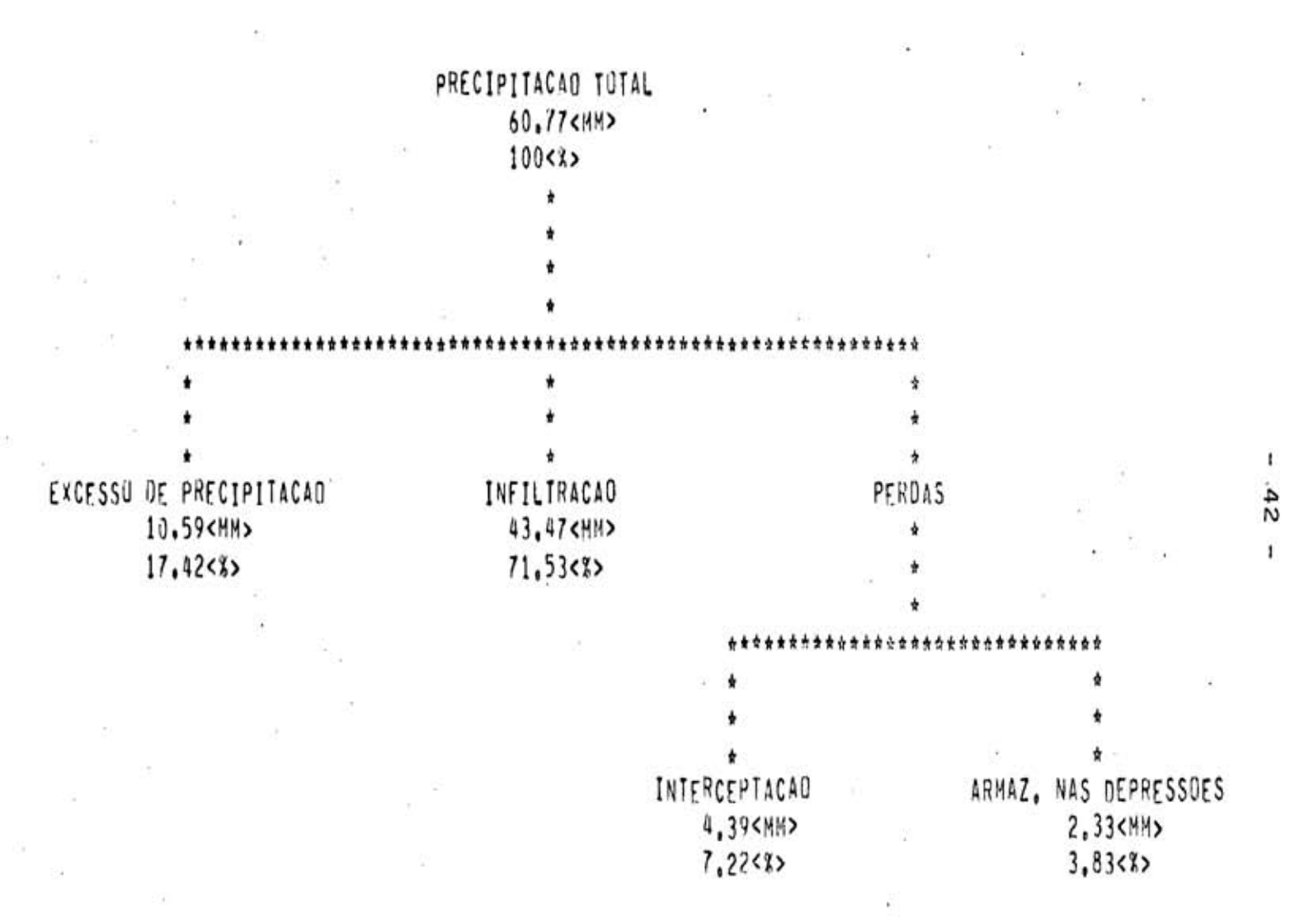
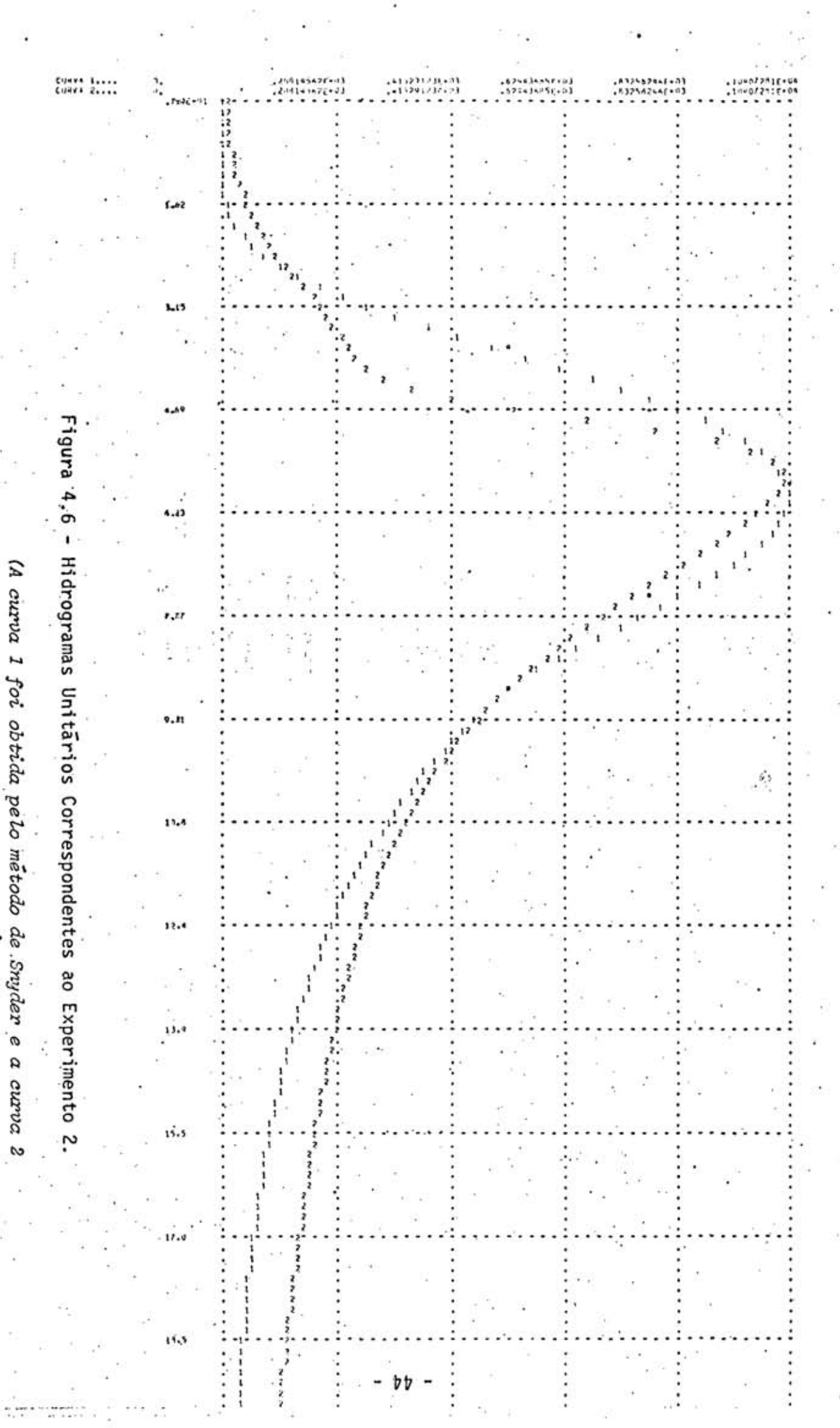


Figura 4.5 - Árvore de Decomposição da Precipitação Correspondente ao Experimento 1.

## Experimento 2:

•	Duração do experimento20	horas
	· Duração da precipitação3	horas
	Intensidade da precipitação25	mm/h
٠	Intervalo de tempo2,3	min
	Largura da célula1.000	m

Figuras 4.6 e 4.7.



pelo Modelo SDE).

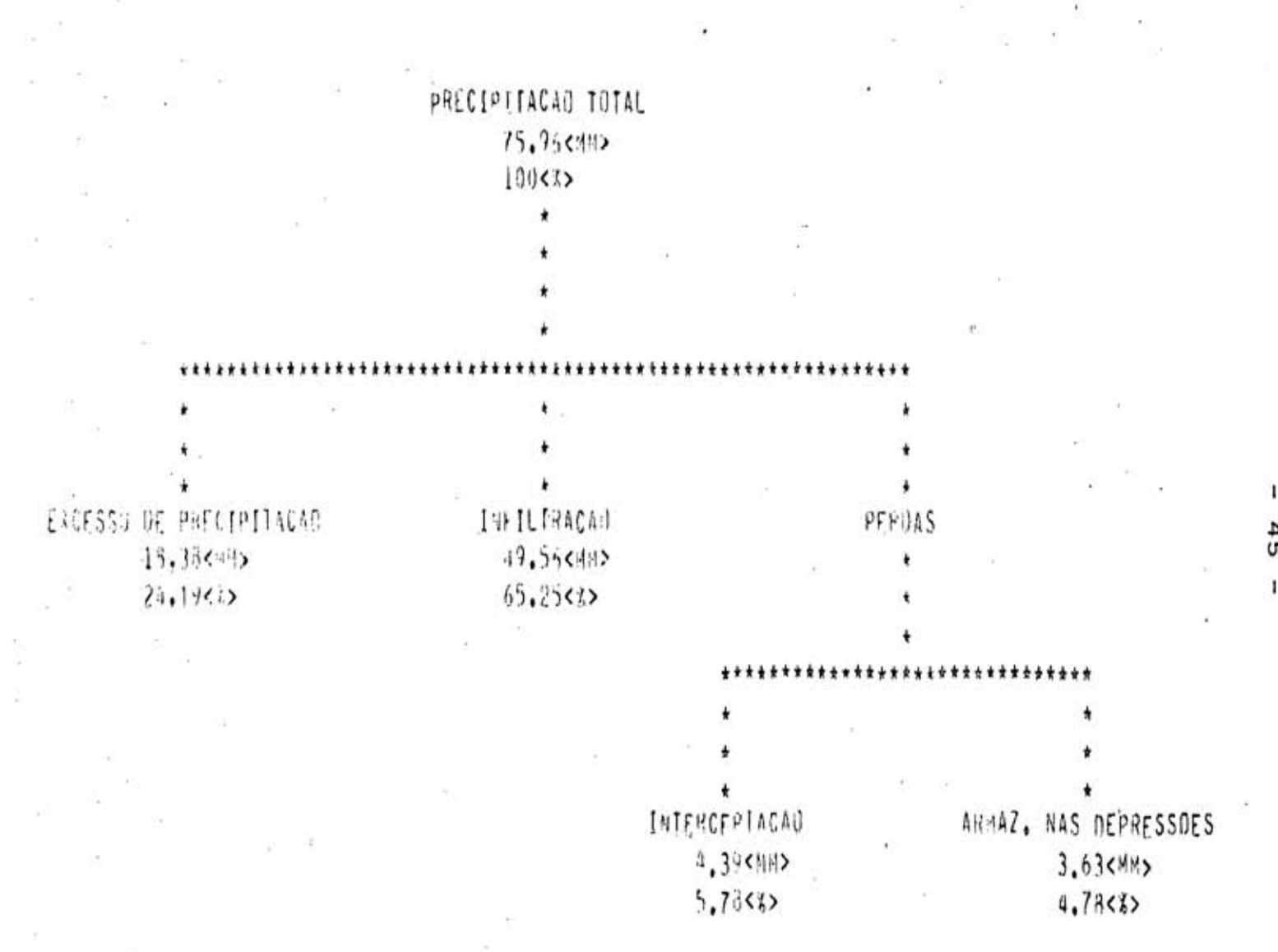


Figura 4.7 - Árvore de Decomposição da Precipitação Correspondente ao Experimento 2.

## -Experimento 3:

•	Duração do experimento20	horas
•	Duração da precipitação3	horas
•	Intensidade da precipitação35	mm/h
	Intervalo de tempo2,3	min
	Largura da celula1.000	m

Figuras 4.8 e 4.9.

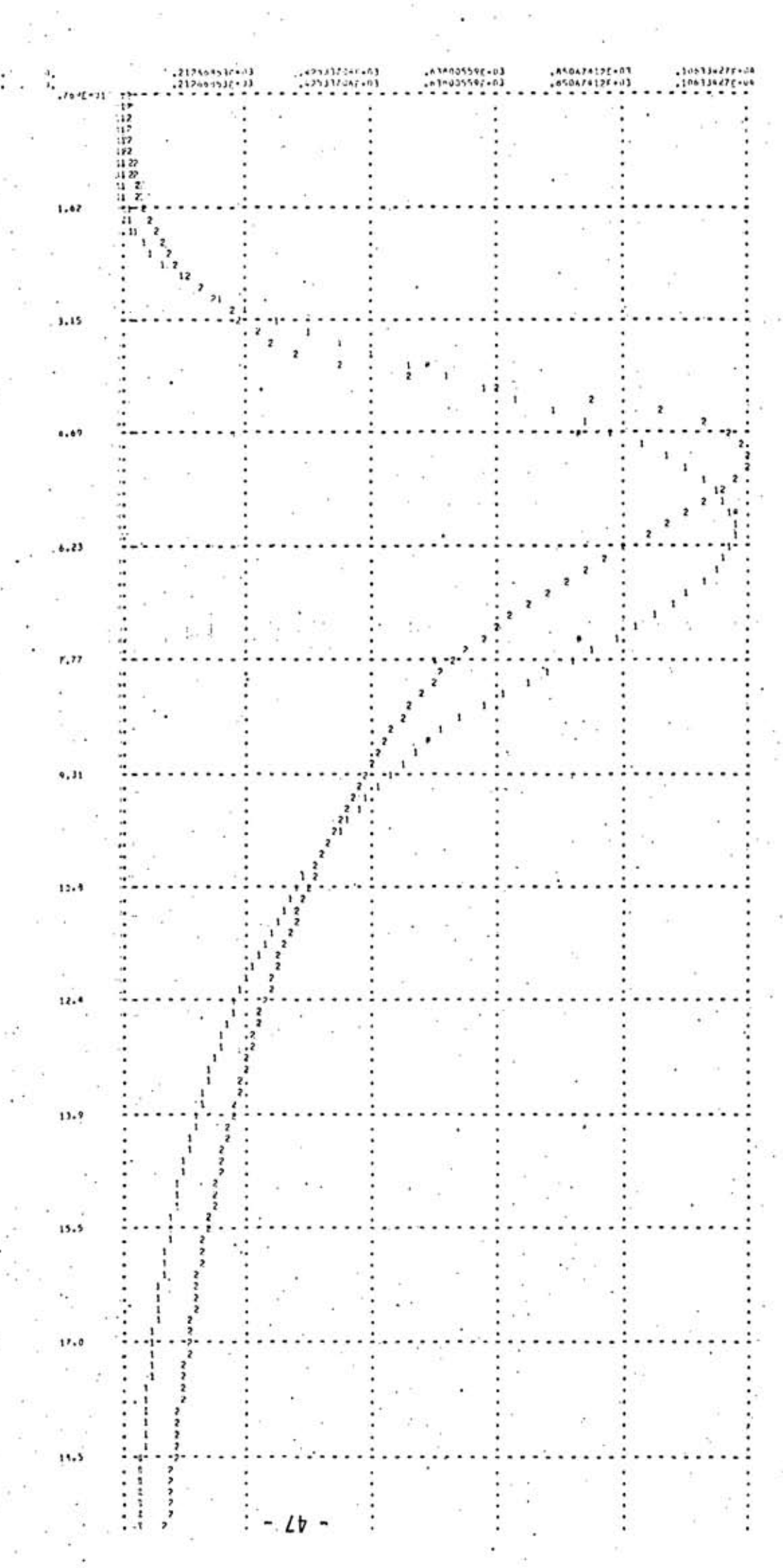


Figura 4.8 - Hidrogramas Unitarios Correspondentes ao Experimento 3 (A curva 1 foi obtida pelo metodo de Snyder e a curva 2 pelo Modelo SDE).

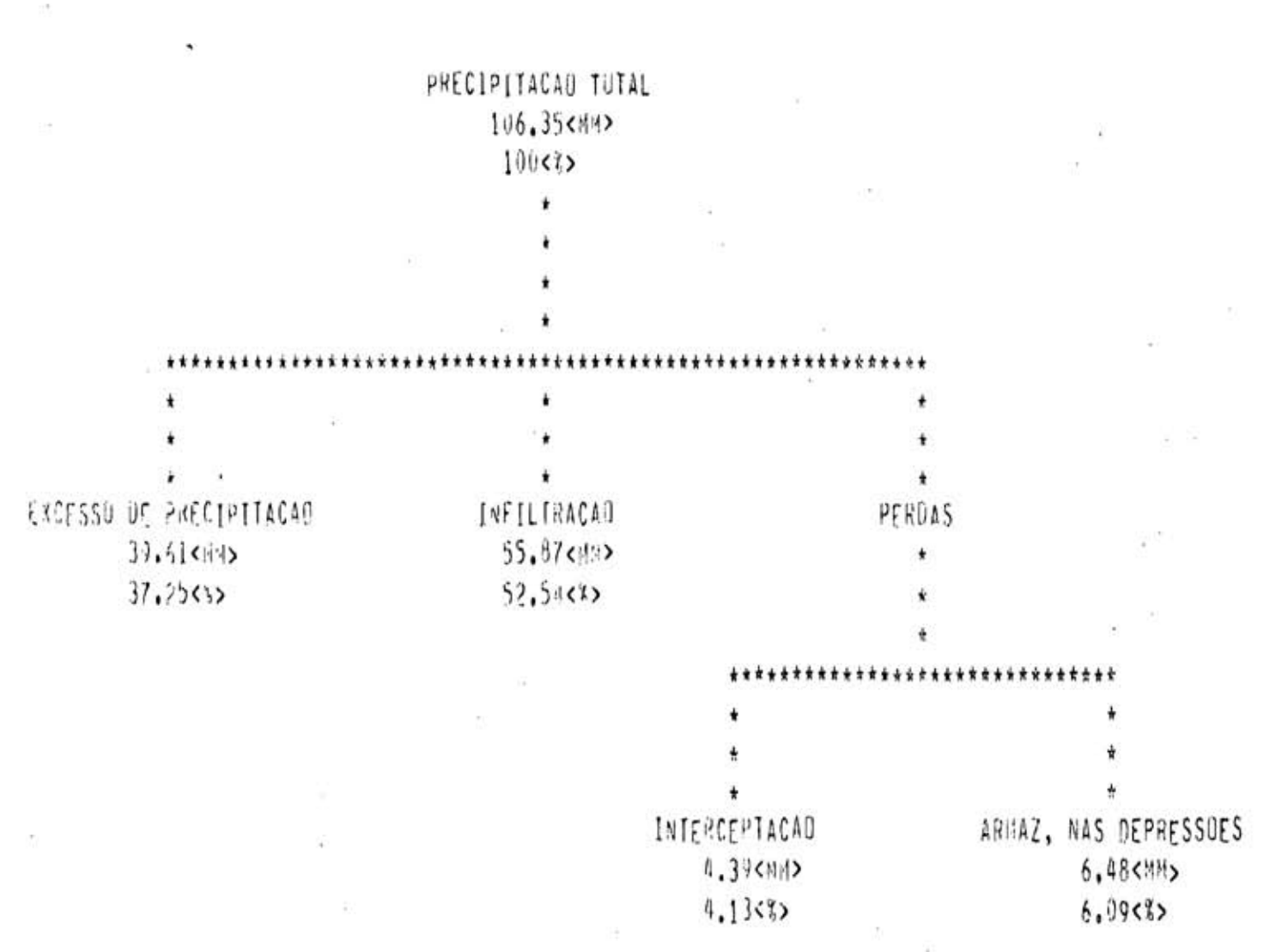


Figura 4.9 - Árvore de Decomposição da Precipitação Correspondente ao Experimento 3.

### 4.4 - Avaliação do Modelo SDE

Nesta seção e feita uma análise dos resultados obtidos dos experimentos, de maneira a possibilitar uma avaliação do modelo proposto. A análise será conduzida através dos seguintes estudos:

#### 4.4.1 - Comparação de Hidrogramas

Nas Figuras 4.4, 4.6 e 4.8 são mostrados os hidrogramas unitários de três horas, obtidos pelo método de Smyder e pelo Modelo SDE, para diferentes intensidades de chuva.

Deve-se notar que os hidrogramas umitários obtidos pelo método de Snyder são os mesmos para os três experimentos, dado que inde pendem da intensidade da chuva. Por outro lado, os hidrogramas deriva dos do Modelo SDE apresentam uma variação significativa na vazão e tem po de pico. No entanto esse comportamento é esperado, como será visto nas seções 4.4.2 e 4.4.3.

De uma maneira geral, essa comparação revelou um bom com portamento do modelo proposto. Com uma intensidade de chuva de 25 mm/h, conseguiu-se um bom ajuste com relação à vazão e a tempo de pico (v. Figura 4.6). No entanto, a curva de ascensão obtida para a intensidade de 35 mm/h (Figura 4.8) apresentou um desvio menor com relação à de Snyder. Com respeito à curva de recessão, todas as figuras mostram uma razoã

vel aproximação dos dois hidrogramas.

# 4.4.2 - Comportamento da Vazão de Pico como Função da Intensidade da Chuva

A Tabela 4.2 mostra as vazões de pico dos hidrogramas <u>u</u> nitários obtidos dos experimentos 1, 2 e 3. De acordo com a teoria do hidrograma unitário (Sherman, 1932), estas vazões deveriam ser iguais, pois correspondem a hidrogramas unitários obtidos de precipitações de mesma duração.

Estudos mais recentes tem questionado a validade dessa teoria. Minshall (1960), analisando dados experimentais para pequenas bacias, concluiu que "os hidrogramas unitários mostram uma grande varia ção para diferentes intensidades de chuva". Outros pesquisadores, tais como Pabst (1966), Amorocho (1963), Linsley et al. (1958), chegaram a conclusões semelhantes.

Machmeier e Larson (1968), utilizando-se de um modelo, concluíram que quanto maior a intensidade de precipitação, maior é a vazão de pico de hidrogramas unitários de mesmo tempo de duração.

Do exposto acima, conclui-se que o comportamento do Mode lo SDE e coerente com os resultados esperados.

Tabela 4.2 - Vazão de Pico como Função da Intensidade da Precipitação.

	Intens	Intensidade da Precipitação (mm/h)		
	20	25	35	
Vazão de Pico (m³/s)	970	1030	1063	

# 4.4.3 - Comportamento do Tempo de Pico como Função da Intensidade de Chuva

A Tabela 4.3 mostra o efeito da intensidade da chuva no tempo de pico do hidrograma. Esses resultados foram obtidos dos experimentos 1, 2 e 3, evidenciando que o tempo de pico diminui quando e au mentada a intensidade da precipitação. De acordo com a teoria do hidrograma unitário, o tempo de pico não deveria ser afettado pela intensida de da chuva. Contudo, estudos recentes (Larson, 1965; Laurenson, 1964) mostraram que o pico se atrasa com uma menor intensidade de precipitação. Este comportamento e esperado devido ao fato de a velocidade media no sistema de drenagem diminuir com um menor volume de escoamento (Machmeier e Larson, 1968).

Tabela 4.3 - Tempo de Pico como Função da .

Intensidade de Precipitação.

Intensidade da pred (mm/h)			ipitação
	20	25	35
Tempo de Pico (h)	6,45	5,70	5,07

Com os valores da Tabela 4.3, obtem-se os tempos de atra so, subtraindo-se do tempo de pico metade do tempo de duração da chuva. Esses valores são mostrados na Tabela 4.4.

Tabela 4.4 - Tempo de Atraso como Função da Intensidade da Precipitação.

	Intensidade da precipitação (mm/h)		
	- 20	25	35
Tempo de Atraso (h)	4,95	4,20	3,57

A Figura 4.10, obtida da Tabela 4.4, mostra graficamente o comportamento do tempo de atraso como função de intensidade da precipitação.

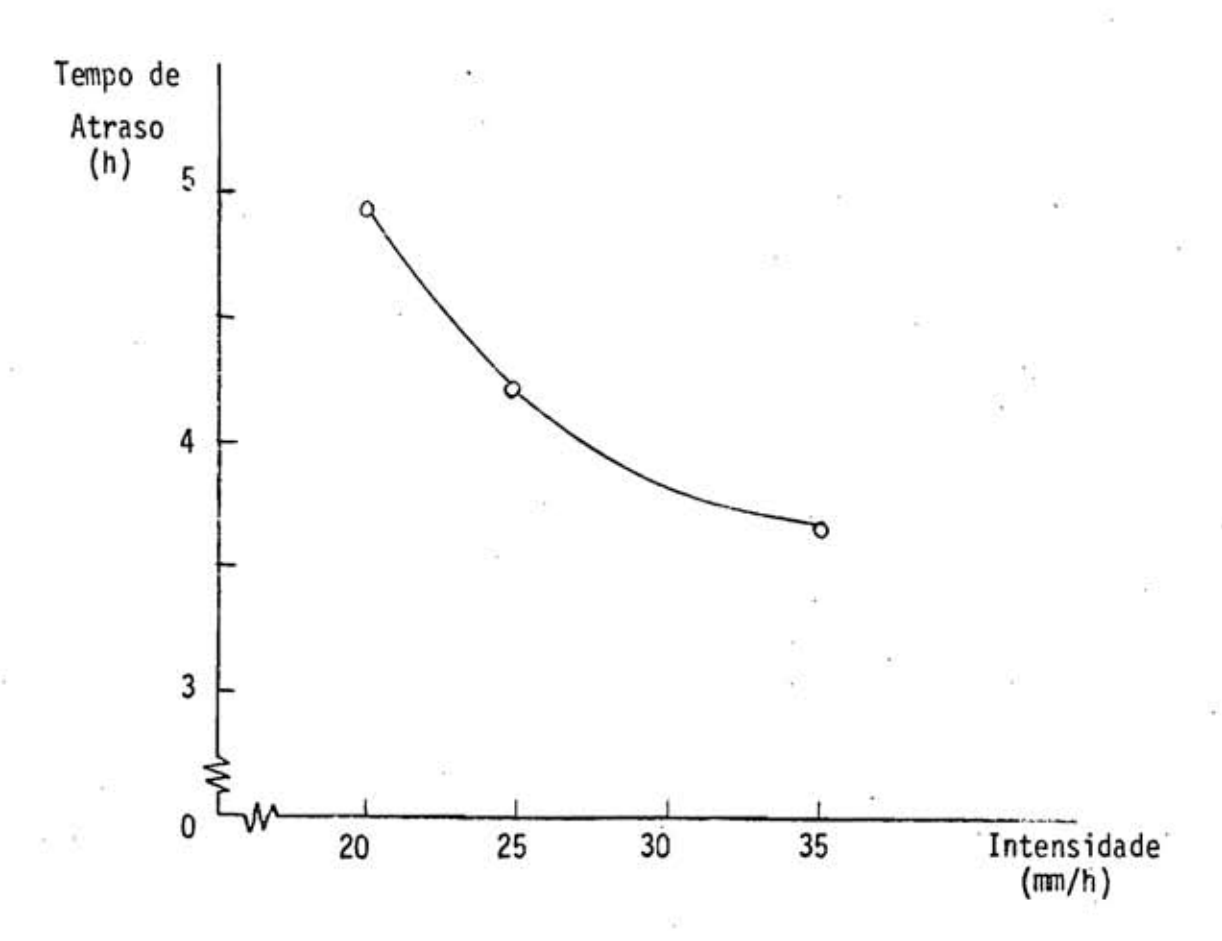


Figura 4.10 - Relação entre Tempo de Atraso e Intensidade da Precipitação.

A forma da função mostrada na figura acima é coerente com resultados alcançados em outros estudos (Machmeier e Larson, 1968; Laurenson, 1964). Uma comparação quantitativa, entre os resultados obtidos pelo Modelo SDE e os obtidos pelos estudos citados, carece de sentido, pois se referem a bacias diferentes.

#### CONSIDERAÇÕES FINAIS

Esse trabalho consistiu em uma abordagem ao problema do escoamento de aguas em uma bacia hidrografica. Foi desenvolvido um mode lo que representa o sistema estudado desde a ocorrência de uma precipitação até a saída de todo escoamento gerado na bacia.

Como se sabe, a física do escoamento em canais e bastan te diferente da encontrada no escoamento superficial. Assim sendo, o mo delo faz distinções entre esses dois tipos de escoamento, através da adoção de coeficientes de rugosidade diferentes na formula de Manning, entre outras coisas. No. entanto, foi tentada uma outra solução basea da na resolução numérica das equações diferenciais da continuidade quantidade de movimento (v. Apendice C), a qual foi abandonada por blemas de tempo de processamento, condições de contorno e principalmen te porque o Modelo SDE ja apresentava resultados satisfatórios. Estu dos complementares poderão ser dirigidos no sentido de utilizar metodos numéricos na resolução do sistema de equações citado e seu consequente aproveitamento na solução do problema de esccamento transiente em nais. Alem disso, pode ser estudada a relação existente entre o acresci mo do coeficiente de rugosidade de Manning, durante o período de preci pitação, e as características da bacia hidrográfica. Segundo Razaq et al. (1967), este acrescimo e uma função da inclinação da bacia, da intensidade da chuva e da profundidade do escoamento e e necessario para levar em conta uma maior força de resistência ao escoamento, duran te esse período.

O comportamento do modelo, evidenciado pelos hidrogramas obtidos, e sensível a variação do intervalo de tempo Δt, como se observou em experiências realizadas. Para intervalos de tempo relativamente grandes - da ordem de vinte minutos, para os experimentos apresentados - verificou-se um espalhamento dos pontos do hidrograma, talvez devido a problemas de instabilidade numerica.

Valores demasiadamente grandes para ∆t podem contrariar as seguintes hipóteses, assumidas no modelo:

- Os valores para os parametros e variaveis são considerados constante de constante d
- Durante um intervalo de tempo, o escoamento originado numa celula so mente alcança as suas vizinhas.

Portanto, valores menores para At tenderiam a eliminar os problemas relacionados acima. No entanto, essa diminuição implica em um aumento no tempo de processamento do modelo. Trabalhos posteriores poderão ser conduzidos no sentido de se determinar uma relação entre o intervalo de tempo e os demais parâmetros, de maneira a se alcançar a solução de compromisso.

Para uma avaliação do modelo foi selecionado o método de Snyder. Na sua implementação deparou-se com dificuldades de convergên cia no processo, as quais foram contornadas com modificações no traba lho original de Hudlow e Clark (1969). Tais modificações encontram-se descritas nos Apêndices B e D. Esta avaliação revelou um bom comporta mento do modelo proposto, como se pode deduzir do exposto na seção 4.1.1. Por outro lado sugere-se, em trabalhos futuros, a avaliação direta do modelo através de dados experimentais.

Com pequenas modificações de caráter operacional, o mode lo pode ser utilizado nos seguintes estudos:

- . Controle de enchentes, que se constitui talvez em um dos seus mais importantes usos. Nestes termos, pode-se aplicar o modelo para estu dar a influência de modificações de alguns dos parametros no compor tamento da bacia hidrográfica com respeito às inundações. Tais modificações podem ser a retificação, regulação, desvio e construção de canais de drenagem e até o devastamento de florestas e construção ur bana.
- Irrigação, que e fundamental ao desenvolvimento agricola em regiões aridas. Assim sendo, pode-se testar a viabilidade da transferência de aguas entre regiões, construção de açudes, regulação de canais e utilização de lagos.

- Abastecimento de agua em centros urbanos, utilizando-se dos procedimentos ja mencionados no item anterior.
- . Construção de um sistema de barragens, com relação ao número, posição e nível dos reservatórios. Como se sabe, tais parâmetros são importantes na geração de energia elétrica, navegação fluvial, controlle de enchentes, irrigação, etc.
- . Planejamento urbano, envolvendo a maioria dos aspectos aqui discutidos, tais como o controle das enchentes, abastecimento de aguas, geração de energia elétrica, navegação fluvial, uso dos solos, etc.

## APÊNDICE A

## FLUXOGRAMA SIMPLIFICADO DO MODELO SDE

Este apendice mostra um fluxograma simplificado do Mode lo SDE (Figura A.1).

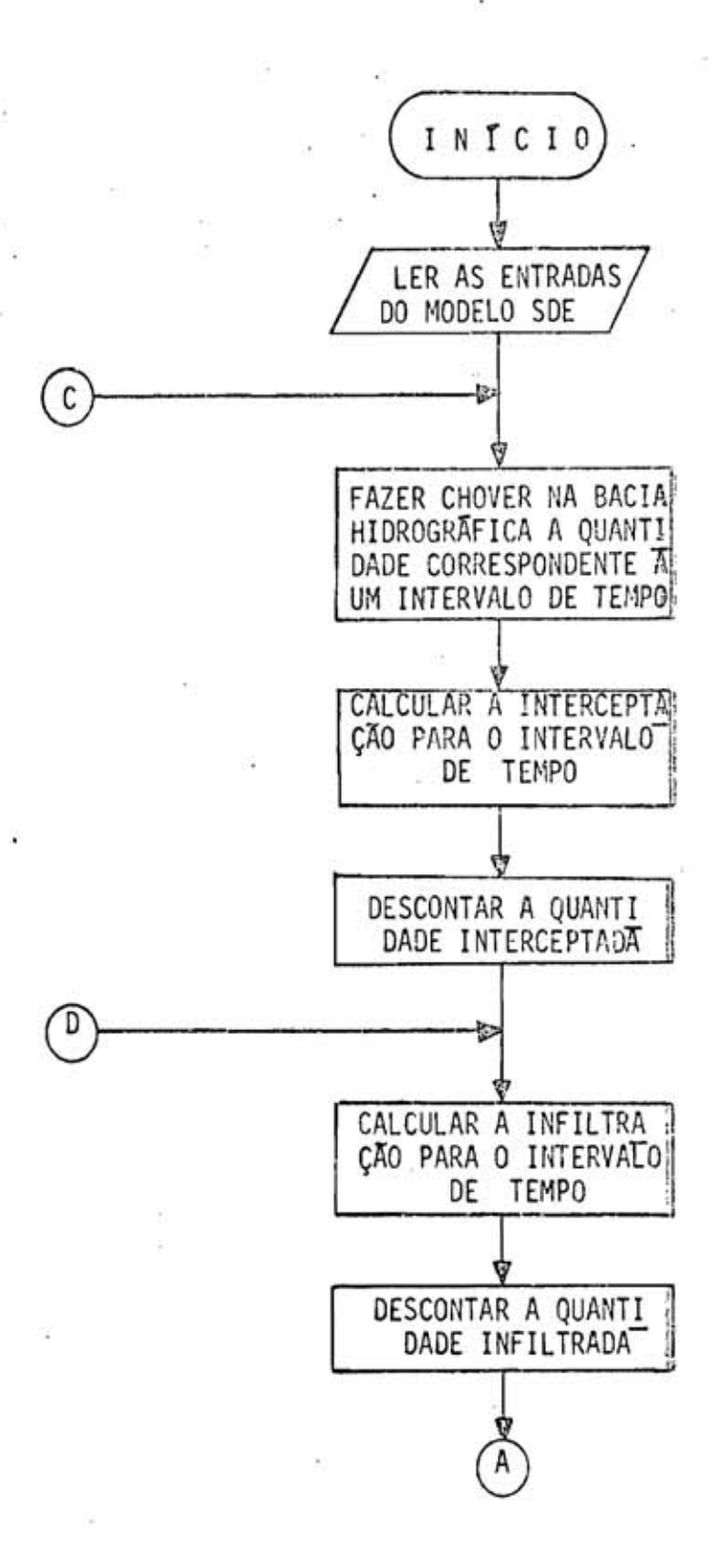


Figura A.1 - Fluxograma Simplificade do Modelo SDE (continua).

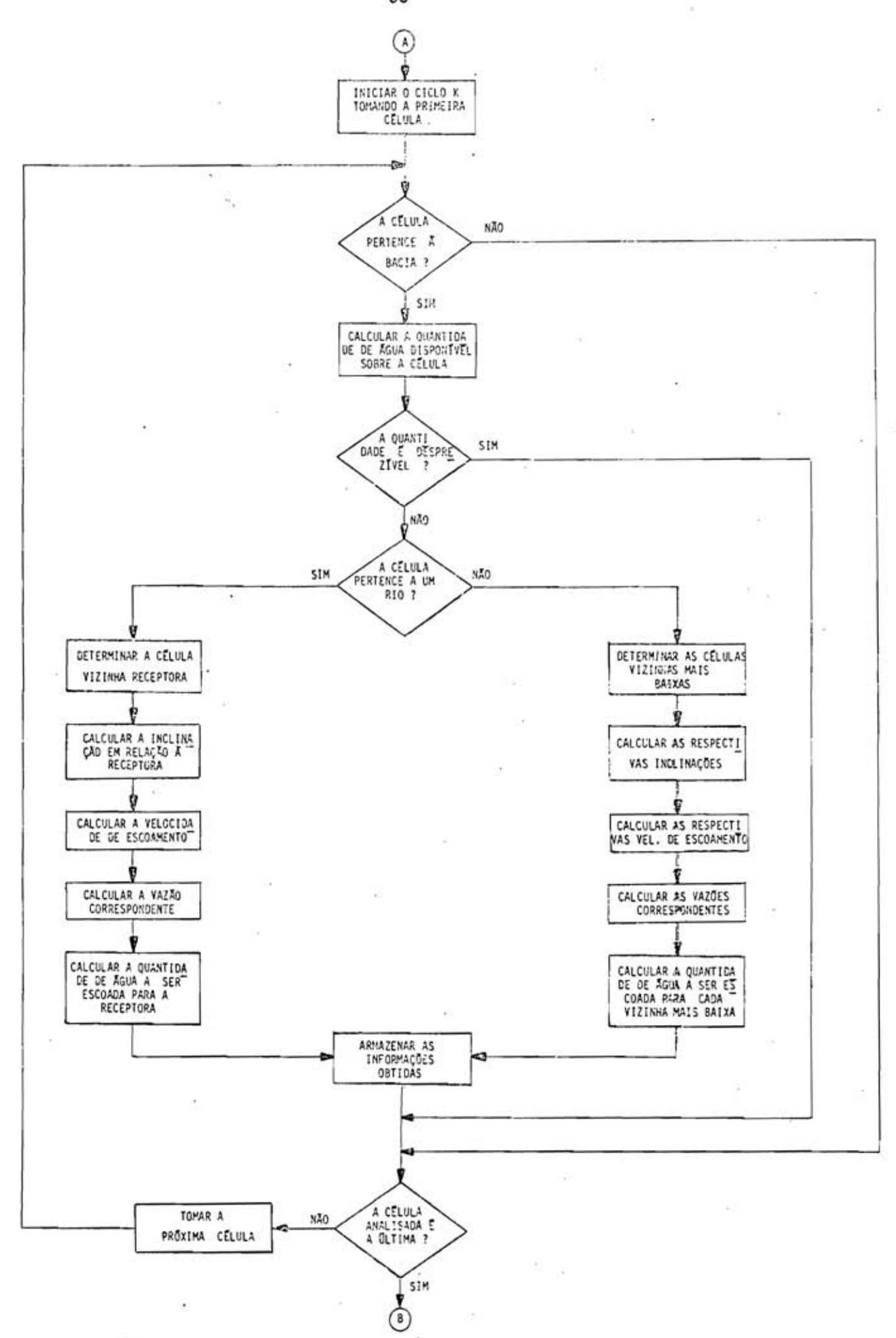


Figura A.1 - Fluxograma Simplificado do Modelo SDE (continuação).

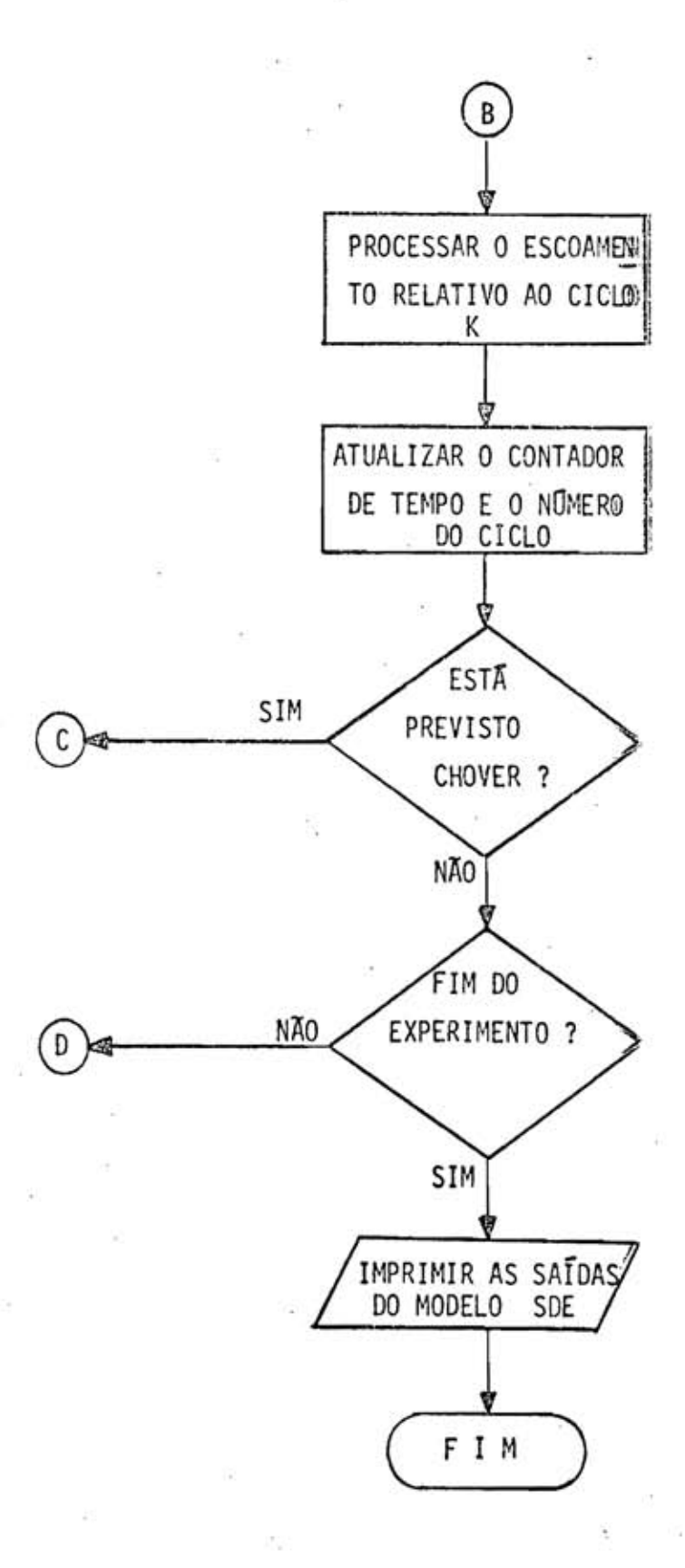


Figura A.1 - Fluxograma Simplificado do Modelo SDE (conclusão).

## APÊNDICE B

## TECNICA DOS MINIMOS QUADRADOS PARA AJUSTE DE FUNÇÕES NÃO LINEARES, SUJEITO A RESTRIÇÃO

O procedimento descrito neste apêndice, embora tenha s $\underline{i}$  do utilizado para o ajuste de uma função particular, pode ser estendido para qualquer tipo de função que conduza a equações normais não linea res.

Este procedimento foi utilizado por Hudlow e Clark (1969) na obtenção de hidrogramas sintéticos para determinadas bacias hidrogramas ficas com carência de dados.

O presente trabalho segue o de Hudlow e Clark em suas li nhas gerais, com modificação de certos detalhes operacionais.

Como foi visto no capítulo 3, a função Pearson tipo III tem a forma:

$$Q = Q_p \left(\frac{t}{P_r}\right)^a \exp\left[\frac{-(t-P_r)}{c}\right]$$
 (B.1)

onde: t - variavel independente

a e c - parametros a determinar

Q<sub>p</sub> e P<sub>r</sub> - constantes conhecidas

Essa função deve ser ajustada aos sete pontos obtidos pelo Método de Snyder, observando-se a restrição de que o hidrograma unitário deve conter uma área equivalente a 1 polegada de escoamento. Esta área pode ser obtida da integral

AREA = 
$$\int_{0}^{\infty} Q dt = \int_{0}^{\infty} Q_{p} \left( \frac{t}{P_{r}} \right)^{a} \exp \left[ \frac{-(t - P_{r})}{c} \right] dt$$
(B.2)

ou AREA = 
$$\frac{Q_p \exp\left(\frac{P_r}{c}\right)}{P_r^a} \int_0^\infty t^a \exp\left(-\frac{t}{c}\right) dt \qquad (B.3)$$

Efetuando-se a integração e tendo em vista que

$$\Gamma$$
 (a+1) =  $\int_{0}^{\infty} x^{a} e^{-x} dx$  (função gama), obtêm-se

AREA = 
$$\frac{Q_{p} \exp\left(\frac{P_{r}}{c}\right) c^{a+1}}{P_{r}^{a}} \Gamma (a+1) \qquad (B.4)$$

Para valores de  $\underline{a}$  grandes e positivos, a função  $\Gamma$  (a) pode ser aproximada por uma forma truncada da fórmula de Stirling, isto  $\tilde{e}$ ,

$$\Gamma (a) = a^a \exp (-a) \sqrt{\frac{2\pi}{a}} \left( 1 + \frac{1}{12a} + \frac{1}{288a^2} \right) (B.5)$$

Como, para valores de a positivos,  $\Gamma$  (a+1) = a  $\Gamma$  (a), a equação B.4 se torna

$$(K . AREA) = \frac{Q_p \exp\left(\frac{P_r}{c}\right)(c a)^{a+1}}{P_r^a e^a} \sqrt{\frac{2\pi}{a}} \left(1 + \frac{1}{12a} + \frac{1}{288a^2}\right)$$
(B.6)

onde K e um fator de conversão introduzido para se especificar AREA em polegadas.

0 segundo membro de B.6 pode assumir valores muito al tos, dependendo dos valores de <u>a</u> e <u>c</u>, o que se torna crítico quando se utiliza processamento em computador. Portanto, toma-se o logaritmo em ambos os membros da expressão.

$$\ell_{n} (K . AREA) = \ell_{n} \left[ \frac{Q_{p} \exp \left(\frac{P_{r}}{c}\right) (c a)^{a+1}}{P_{r}^{a} e^{a}} \sqrt{\frac{2\pi}{a}} \left(1 + \frac{1}{12a} + \frac{1}{288a^{2}}\right) \right]$$

Observando-se a expressão acima verifica-se que nem <u>a</u> e nem c podem ser obtidos explicitamente.

Assim, inicialmente arbitra-se um valor para <u>a</u>. Em s<u>e</u> guida, calcula-se <u>c</u> pelo método descrito abaixo, fazendo com que a condição de área sob o hidrograma seja satisfeita. Então, um novo valor de <u>a</u> é obtido pela técnica dos mínimos quadrados, ajustando-se a cu<u>r</u> va B.1 aos sete pontos de Snyder. Os resultados para <u>c</u> e <u>a</u> são it<u>e</u>

rados sucessivamente até que não haja variação significativa nos seus valores.

O algoritmo consiste dos seguintes passos:

- Inicio: arbitra-se um valor para a.
- Determinação de c: para o calculo de c, utiliza-se o metodo de Newton para a solução de equações. Neste caso,

$$c_{n+1} = c_n - \frac{f(c_n)}{f'(c_n)}$$
 (B.8)

onde  $f(c) = \ln \left[ \frac{Q_p \exp \left( \frac{P_r}{c} \right) (c.a)^{a+1}}{(P_r)^a \exp (a)} \sqrt{\frac{2\pi}{a}} \left( 1 + \frac{1}{12a} + \frac{1}{288a^2} \right) \right] -$ 

f'(c) - derivada de f(c)

cn+1 - nova estimativa para o valor de c

 $c_n$  - antiga estimativa para o valor de  $\underline{c}$ 

O valor final de c, obtido desta maneira, será a raiz da equação

$$f(c) = 0$$
 (B.10)

Um estudo do comportamento da função f(c) (v. Apêndice D), pelos autores, levou à conclusão que, para se assegurar a convergência da solução de B.10 o valor inicial de  $\underline{c}$  a ser util $\underline{i}$  zado na expressão B.8 deve ser

$$c_0 = \frac{2 P_r}{a+1}$$
 (B.11)

Também através deste estudo, concluiu-se que quando

B.10 não tiver solução, um valor deve ser atribuído a <u>c</u> em

substituição à raiz (v. Apendice D). Este valor, dado pela expres

são B.12, e utilizado normalmente, como se fosse a raiz da equa

ção B.10, dando sequência ao procedimento. Vários testes foram

feitos neste sentido e constatou-se que este procedimento faz com

que o processo convirja rapidamente para os valores finais de <u>a</u> e

<u>c</u>.

$$c = \frac{P_r}{a+1} \tag{B.12}$$

III. <u>Determinação de a</u>: com o valor de <u>c</u> obtido no passo anterior, quer seja ele raiz da equação B.10 ou o valor dado por B.12, utiliza-se o método dos mínimos quadrados para se obter um melhor valor para o parâmetro <u>a</u>. Entretanto, para que isso possa ser fei to, deve-se antes linearizar a função Q em relação a esse parâ metro. Essa linearização é obtida, tomando-se o desenvolvimento de Q em série de Taylor em torno do valor inicial de <u>a</u> e des prezando-se os termos de ordem superior.

$$Q = (Q)_{a_0} + \left(\frac{\partial Q}{\partial a}\right)_{a_0} (a - a_0)$$
 (B.13)

onde  $\left(\begin{array}{c} a_0 \end{array}\right)$  indica que a quantidade entre parêntesis  $\tilde{e}$  calculada com o valor do parametro igual a  $a_0$ . Considerando a seguinte no tação:

$$d = a - a_0$$

$$Q'_a = \frac{\partial Q}{\partial a}$$

$$Q_0 = (Q)_{a_0}$$

$$Q'_{ao} = (Q'_{a})_{a_{o}}$$

a equação B.13 fica sendo

$$Q = Q_0 + Q_{a0}^{\dagger} d$$
 (B.14)

Denotando os pontos obtidos pelo Metodo de Snyder por  ${\bf Q_{7i}}$ , o problema passa a ser o de minimizar a expressão

$$s = \sum_{i=1}^{7} (Q_{7i} - Q_i)^2$$

ou 
$$s = \sum_{i=1}^{7} (Q_{7i} - Q_{0i} - Q'_{aoi} d)^2$$
 (B.15)

O valor de <u>d</u> que minimiza <u>s</u> pode então ser obtido por

$$d = \frac{\sum_{i=1}^{7} (Q_{7i} - Q_{0i}) \ Q'_{a0i}}{\sum_{i=1}^{7} (Q'_{a0i})^2}$$
(B.16)

O valor de <u>a</u> calculado através do valor de <u>d</u>, obtido de B.16, pode não satisfazer a restrição de área sob o hidrograma, portanto, com esse valor, dever-se-ia voltar ao passo III. En tretanto, é recomendado por Hartley (1961) que a nova estimativa para <u>a</u> seja obtida através da expressão

$$a_{n+1} = a_n + v.d$$
 (B.17)

onde:  $a_{n+1}$  - novo valor para  $\underline{a}$ 

an - antigo valor de <u>a</u>

v - número entre 0 e 1

Quando se utiliza <u>v</u> igual a 1, a técnica frequentemente diverge (Levenberg, 1944); portanto, é sugerido por Hartley (1961) um critério para a escolha de <u>v</u>. Esse critério consiste em calcular <u>s</u> na expressão B.15 para três valores diferentes de <u>v</u>, inicialmente, 0, 1/2 e 1. Em seguida, ajusta-se uma parã bola aos valores obtidos para <u>s</u> e o valor de <u>v</u> que resulta em um erro mínimo é escolhido. Entretanto, se o erro mínimo obtido não for menor do que o obtido com v = 0 deve-se repetir o proce dimento tomando-se para valores de <u>v</u>, 0, 1/4 e 1/2, i.e., valo res contidos no segmento [0, 1/2]. Esse procedimento deve ser re

petido tantas vezes quantas forem necessarias, usando-se sempre segmentos com a metade do comprimento do intervalo anterior.

IV. <u>Final do processo</u>: com o valor de <u>a</u> obtido no passo III volta-se novamente para o passo II. Entretanto, antes disso, e feita uma comparação entre o novo valor de <u>a</u> e seu antigo valor. Se não houver diferença significativa entre esses dois valores, a mesma comparação será feita com respeito ao parâmetro <u>c</u> apos se passar pelo passo II. O processo termina se essa segunda comparação tam bém não mostrar diferença significativa; caso contrário, o procedimento continua.

Pela definição de hidrograma unitário, o valor de AREA, na expressão B.9, deve ser igual a uma polegada; entretanto ajustes mais precisos são obtidos quando se utiliza valores menores para AREA. Hudlow e Clark (1969) sugerem utilizar-se valores até 0,84 polegadas. A correção da área sob o hidrograma unitário é feita, então, utilizando-se de uma curva exponencial a partir do ponto onde a vazão cai à metade da vazão de pico - Figura B.1. O fato de se tomar essa recessão exponencial faz com que, além de um melhor ajuste, se tenha uma melhor descrição do ramo descendente do hidrograma.

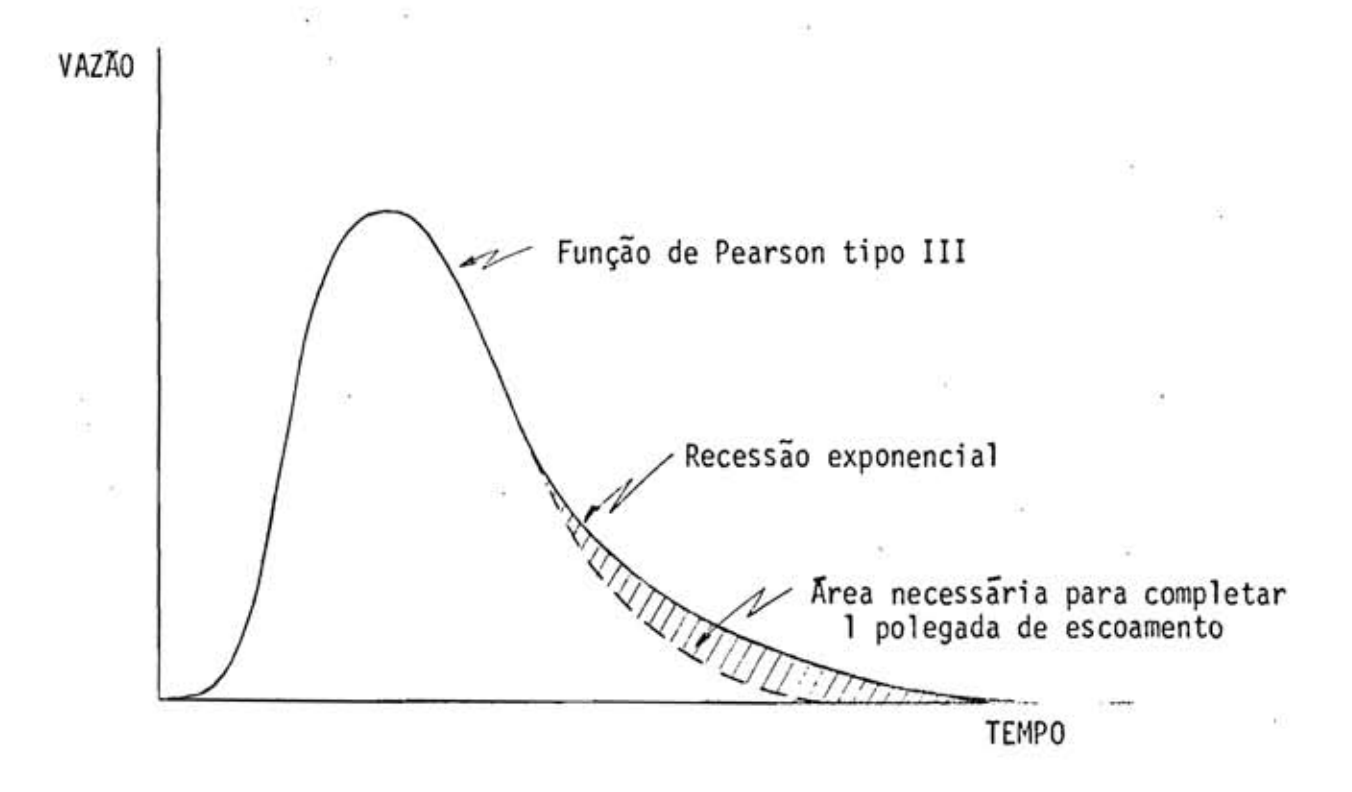


Figura B.1 - Modificação do Ramo Descendente do Hidrograma

### APÊNDICE C

#### UMA SOLUÇÃO PARA O PROBLEMA DE ESCOAMENTO TRANSIENTE EM CANAIS

Uma técnica para a solução das equações de um escoamento não permanente para o caso ideal de um canal aberto de inclinação constante, com entradas laterais, é descrita a seguir.

As equações diferenciais parciais, unidimensionais, transientes, não lineares, da quantidade de movimento e continuidade são transformadas em um sistema de equações diferenciais ordinárias e não lineares. Este conjunto de equações pode então ser revolvido numerica mente, para dar a velocidade e a profundidade do escoamento em qualquer ponto ao longo do canal.

O procedimento numerico consiste em resolver as equações para as derivadas da velocidade e profundidade com respeito ao tempo, em cada ponto nodal ao longo do canal, para um instante particular. Co meçando-se com as condições iniciais conhecidas, e usando-se séries de Taylor, a velocidade e a profundidade podem ser calculadas após um incremento de tempo.

A convergência deste tipo de solução foi amplamente estudada e comprovada por Abdel-Razaq et al. (1967).

#### C.1 - Generalidades

As equações da quantidade de movimento e da continuidade tomam as seguintes formas, quando aplicadas ao problema de escoamento em canais:

$$u_t + u u_x + g h_x = g(S - SF) - \frac{qu}{h}$$
 (C.1)

$$u h_x + h u_x + h_t = q$$
 (C.2)

onde: u - velocidade

h - profundidade do fluxo

q - taxa de entrada lateral.

g - aceleração da gravidade

S - inclinação do canal

SF - perda de carga

x - distância ao longo do canal

t - tempo

ut, ux - derivadas parciais da velocidade com respeito ao tempo e distância, respectivamente

h<sub>t</sub>, h<sub>x</sub> - derivadas parciais da profundidade com respeito ao tempo e distância, respectivamente

Algumas destas grandezas podem ser vistas na Figura C.1.

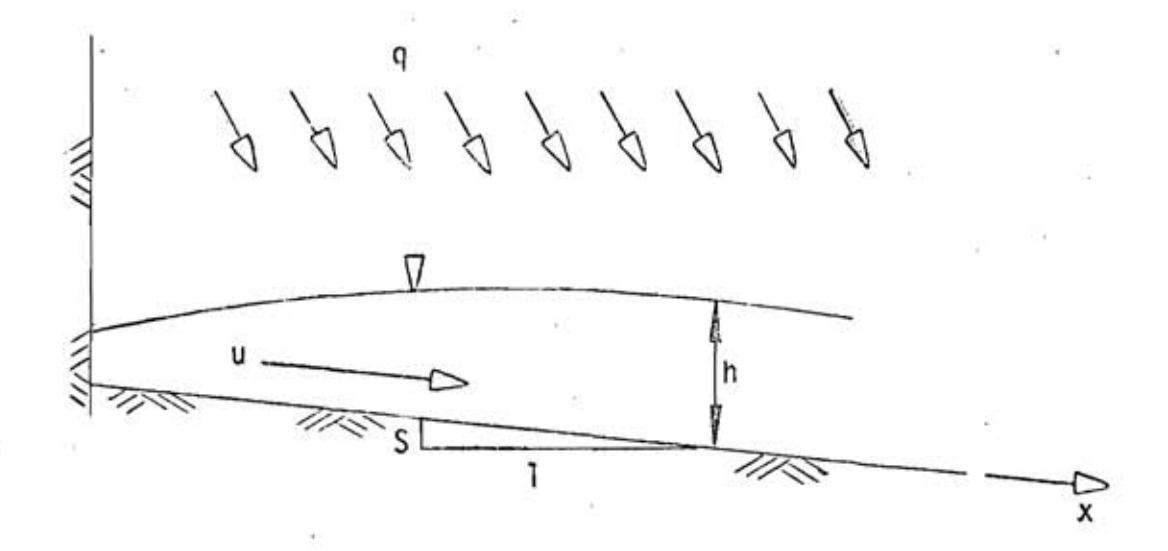


Figura C.1 - Esquema de Definição das Variaveis

A natureza das equações C.1 e C.2 não permite uma solu ção matemática exata. O método das características se mostrou aplicável na resolução deste conjunto de equações (Stoker, 1957; Chow, 1959; Henderson, 1966), mas a relativa complexidade deste método é um obstácu lo que limita suas aplicações. Diversos métodos numericos de solução foram propostos. O procedimento descrito a seguir se constitui em um de les.

## C.2 - Método de Solução (Abdel-Razag et al., 1967)

As equações C.1 e C.2, envolvem duas variaveis dependentes, u e h, e duas independentes, x e t. Utilizando-se a definição de derivada, e reordenando-se os termos, estas duas equações podem ser es

critas na forma seguinte, se diferenças regressivas são usadas:

$$u_{t}(x, t) = g(S - SF) - \frac{u(x, t)}{\Delta x} \left[ u(x, t) - u(x - \Delta x, t) \right] - \frac{g}{\Delta x} \left[ h(x, t) - h(x - \Delta x, t) \right] - \frac{q}{h(x, t)} u(x, t)$$
(C.3)

$$h_{t}(x, t) = q - \frac{u(x, t)}{\Delta x} \left[ h(x, t) - h(x - \Delta x, t) \right] - \frac{h(x, t)}{\Delta x} \left[ u(x, t) - u(x - \Delta x, t) \right]$$
(C.4)

Se diferenças progressivas são usadas, as equações C.1 e C.2 tomam a forma:

$$u_{t}(x, t) = g(S - SF) - \frac{u(x, t)}{\Delta x} \left[ u(x + \Delta x, t) - u(x, t) \right] - \frac{g}{\Delta x} \left[ h(x + \Delta x, t) - h(x, t) \right] - \frac{q}{h(x, t)} u(x, t)$$
(C.5)

$$h_t(x, t) = q - \frac{u(x, t)}{\Delta x} \left[ h(x + \Delta x, t) - h(x, t) \right] - \frac{h(x, t)}{\Delta x} \left[ u(x + \Delta x, t) - u(x, t) \right]$$
 (C.6)

As derivadas em relação ao espaço foram aproximadas por

diferenças regressivas ao longo do canal, exceto na nascente, onde diferenças progressivas foram usadas.

Como indicado na Figura C.2, o eixo x pode ser dividido em N pontos nodais, espaçados um do outro de uma distância  $\Delta x$ , de ma neira que

$$x = n \Delta x$$
 para  $n = 1, 2, ..., N$  (C.7)

consequentemente,

$$u(x, t) = u(n \Delta x, t) = u_n(t)$$
 (C.8)

$$h(x, t) = h(n \Delta x, t) = h_n(t)$$
 (C.9)

$$u(x - \Delta x, t) = u[(n-1) \Delta x, t] = u_{n-1}(t)$$
 (C.10)

$$h(x - \Delta x, t) = h[(n-1) \Delta x, t] = h_{n-1}(t)$$
 (C.11)

$$u(x + \Delta x, t) = u[(n+1) \Delta x, t] = u_{n+1}(t)$$
 (C.12)

$$h(x + \Delta x, t) = h[(n+1) \Delta x, t] = h_{n+1}(t)$$
 (C.13)

$$h_t(x, t) = h_t(n \Delta x, t) = h_t n(t) = \frac{dh_n(t)}{dt}$$
 (C.14)

$$u_t(x, t) = u_t(n \Delta x, t) = u_t(t) = \frac{d u_n(t)}{dt}$$
 (C.15)

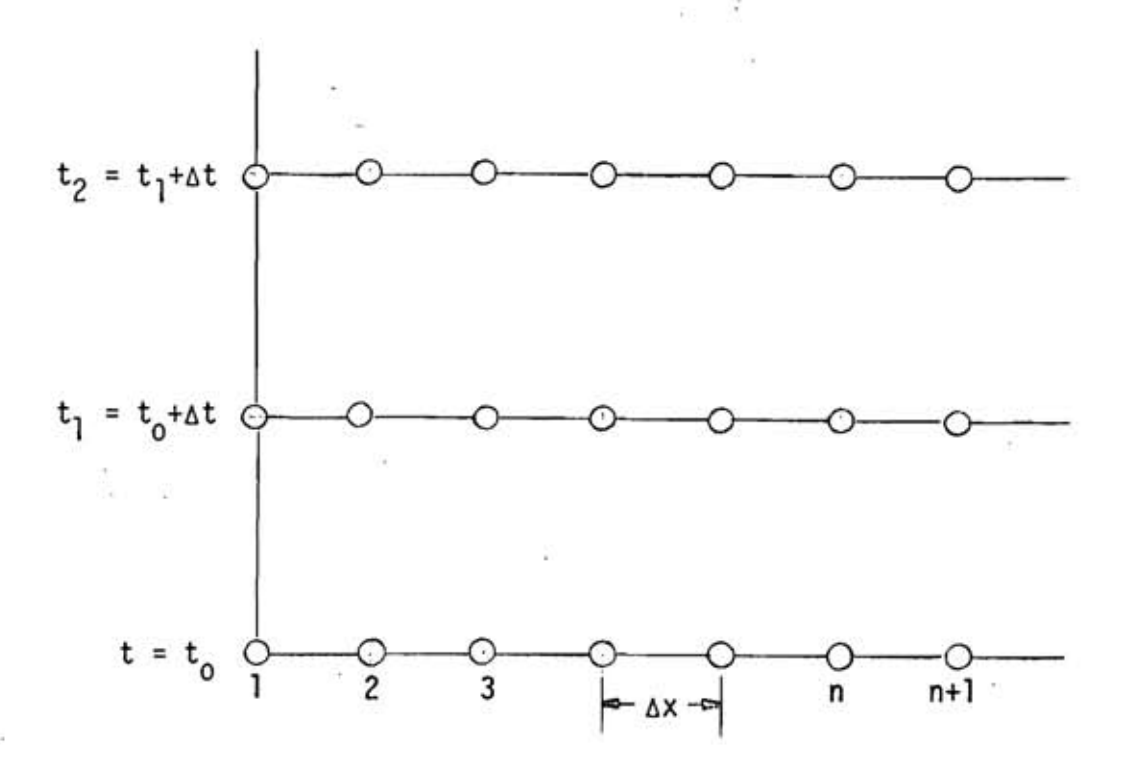


Figura C.2 - O Plano x - t

Substituindo-se as equações C.8, C.9, C.10, C.11, C.14 e C.15 nas equações C.3 e C.4,

$$\frac{du_{n}(t)}{dt} = g(S - SF) - \frac{u_{n}(t)}{\Delta x} \left[ u_{n}(t) - u_{n-1}(t) \right] - \frac{g}{\Delta x} \left[ h_{h}(t) - h_{n-1}(t) \right] - \frac{q}{h_{h}(t)} u_{n}(t)$$
 (C.16)

$$\frac{dh_{n}(t)}{dt} = q - \frac{u_{n}(t)}{\Delta x} \left[ h_{n}(t) - h_{n-1}(t) \right] - \frac{h_{n}(t)}{\Delta x} \left[ u_{n}(t) - u_{n-1}(t) \right]$$
(C.17)

Analogamente, se as equações C.8, C.9, C.12, C.13, C.14 e C.15 são substituídas nas equações C.5 e C.6,

$$\frac{du_{n}(t)}{dt} = g(S - SF) - \frac{u_{n}(t)}{\Delta x} \left[ u_{n+1}(t) - u_{n}(t) \right] - \frac{g}{\Delta x} \left[ h_{n+1}(t) - h_{n}(t) \right] - \frac{q}{h_{n}(t)} u_{n}(t)$$
 (C.18)

$$\frac{dh_{n}(t)}{dt} = q - \frac{u_{n}(t)}{\Delta x} \left[ h_{n+1}(t) - h_{n}(t) \right] - \frac{h_{n}(t)}{\Delta x} \left[ u_{n+1}(t) - u_{n}(t) \right]$$
(C.19)

Ja que u e h são conhecidos no tempo t = 0, a série de Taylor é usada para avançar a solução no tempo. Desenvolvendo-se u e h em série de Taylor,

$$u_n(t + \Delta t) = u_n(t) + \Delta t \left[ \frac{du_n((t))}{dt} \right] + \dots$$
 (C.20)

$$h_n(t + \Delta t) = h_n(t) + \Delta t \left[ \frac{dh_n(t)}{dt} \right] + \dots$$
 (C.21)

Os membros direitos das equações C.20 e C.21 são conhecidos no tempo t=0. Isto pode ser usado para se obter os valores de  $u(t+\Delta t)$  e  $h(t+\Delta t)$  nos pontos nodais. O processo é então repetido para os próximos incrementos de tempo, para se calcular  $u(t+K\Delta t)$  e  $h(t+K\Delta t)$ , onde  $K=2,3,\ldots$ 

# C.3 - Cálculo da Perda de Carga - SF

Este problema foi extensivamente estudado por Abdel-Razaq et al. (1967) usando dados experimentais. Essas pesquisas visaram verificar as duas expressões para o cálculo de SF, que são listadas a seguir:

$$SF = \frac{3 v}{q} \frac{u}{h^2}$$
 (C.22)

onde:

ν - viscosidade cinemática da água

SF, g, u, h - como definidos anteriormente

e SF = 
$$\frac{1,33}{2 \text{ g}} v^{1/2} \left(\frac{u}{h}\right)^{3/2}$$
 (C.23)

A expressão C.22 é obtida assumindo-se um fluxo unifor me e laminar, para o qual a velocidade média do escoamento pode ser escrita como

$$u = \frac{g SF}{3 v} h^2 \qquad (C.24)$$

Para se obter a relação C.23, primeiramente deve-se lembrar que a tensão de cisalhamento pode ser colocada nas duas formas abaixo:

$$\tau = c_0 \rho \frac{u^2}{2}$$
 (C.25)

onde τ - tensão de cisalhamento

 $c_{_{\rm O}}$  - coeficiente de cisalhamento

p - massa específica da agua

u - como definido anteriormente

$$\tau = \gamma h SF \qquad (C.26)$$

onde γ - peso específico da água

 $\tau$  , h, SF - como definidos anteriormente

Das equações C.25 e C.26, obtém-se

$$SF = \frac{c_0}{2 g} \frac{u^2}{h} \tag{C.27}$$

Por outro lado, para uma superfície lisa, c<sub>o</sub> pode ser expresso como

$$c_0 = \frac{1,33}{\sqrt{R'}}$$
 (C.28)

onde: R - número de Reynold

co - como definido anteriormente

A substituição de C.28 em C.27 fornece

$$SF = \frac{1,33}{2g \sqrt{R}} \frac{u^2}{h}$$
 (C.29)

Finalmente, ja que R é calculado por

$$R = \frac{h u}{v}$$
 (C.30)

pode-se obter a relação C.23 pela substituição de C.30 em C.29.

Abdel-Razaq et al. (1967) concluiram que as relações C.22 e C.23 se mostram insatisfatorias para o cálculo de SF.

Estudos anteriores haviam mostrado que a aproximação de Manning, para a perda de carga, fornece resultados razoavelmente precisos (Stoker, 1957). Comparando-se esta aproximação com os valores dados pelas equações C.22 e C.23, estes pesquisadores chegaram a conclusão que ela ainda se constitui no melhor método disponível. Aplicações desta aproximação, levadas a cabo posteriormente por Baltzer e Lai (1968), Machmeier e Larson (1968), entre outros, comprovaram a sua utilidade. A aproximação de Manning para o cálculo de SF é a seguinte:

SF = 
$$\frac{u^2}{\left(\frac{1,486}{n}\right)^2 \cdot r^{4/3}}$$
 (C.31)

onde: n - coeficiente de rugosidade de Manning

r - raio hidráulico

SF, u - como definidos anteriormente

### APÊNDICE D

# E O ESCOAMENTO TOTAL

Neste apêndice é feito um estudo sobre o comportamento da função f(c), referenciada por B.9 no apêndice B e aqui por D.1. São apresentadas algumas conclusões, as quais foram utilizadas no processo de ajuste da função Pearson tipo III aos sete pontos de Snyder.

Como foi visto no apêndice B, a função f(c) é definida por

$$f(c) = \ln \left[ \frac{Q_p \exp \left( \frac{P_r}{c} \right) (c.a)^{a+1}}{(P_r)^a \exp (a)} \sqrt{\frac{2\pi}{a}} \left( 1 + \frac{1}{12a} + \frac{1}{288a^2} \right) \right] -$$

Uma subrotina foi preparada, em FORTRAN, para plotar os valores de f versus <u>c</u> para varios valores de <u>a</u>. Os resultados obt<u>i</u> dos permitiram uma conclusão sobre a forma da função f(c) que pode ser vista na Figura D.1.

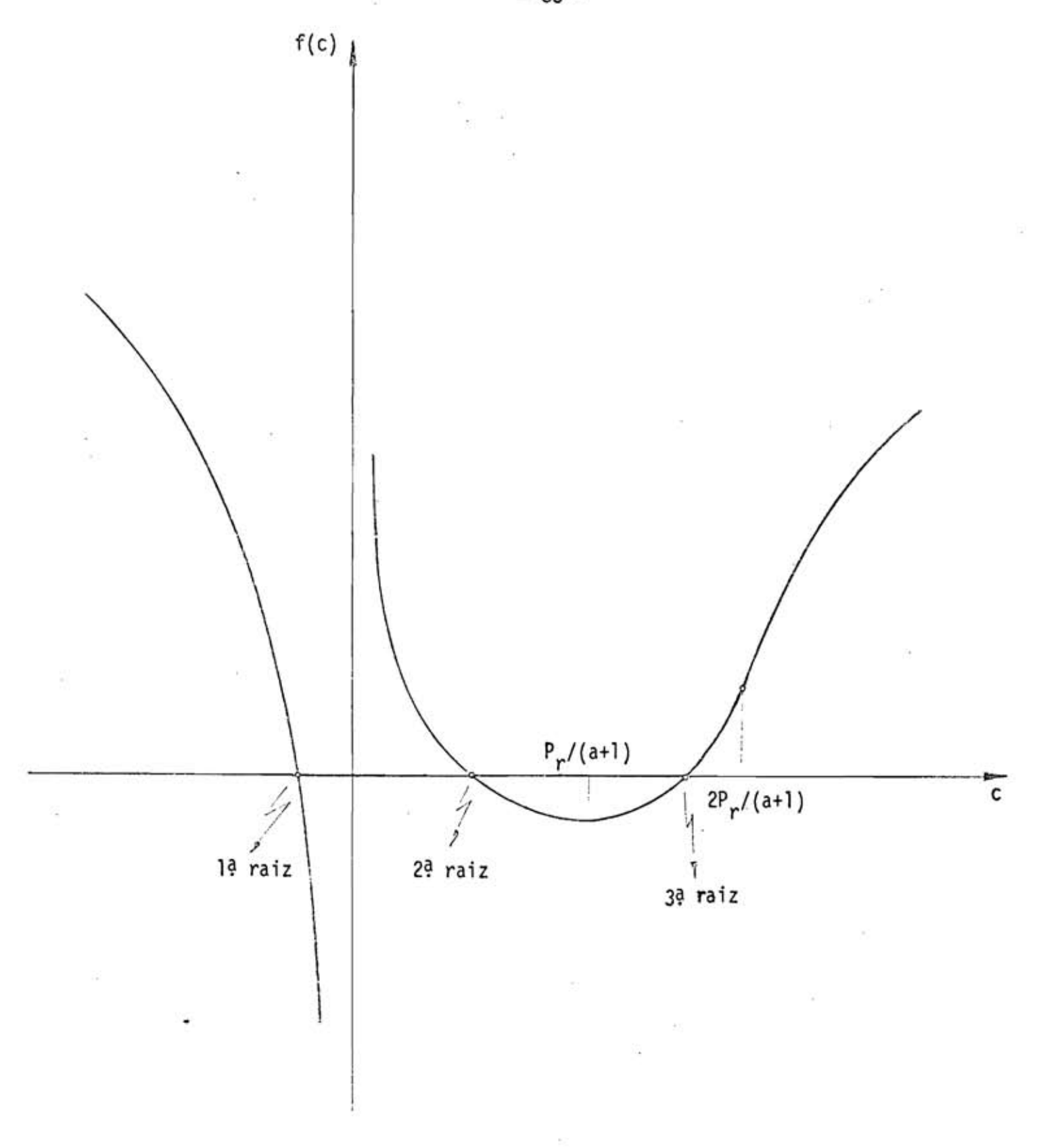


Figura D.1 - Gráfico da Função f(c).

A forma da função f(c), mostrada na Figura D.1, entre tanto, está sujeita a algumas restrições. Para determinados valores de  $\underline{a}$ , a função não  $\underline{e}$  definida no semi-eixo negativo de  $\underline{c}$ , além disso, para outros valores de  $\underline{a}$ , f(c) não tem raiz no semi-eixo positivo de  $\underline{c}$ .

A primeira restrição não é importante, pois o ajuste de que trata o Apendice B necessita de uma raiz positiva de f(c). No en tanto, a segunda restrição é problemática pois esta raiz procurada pode não existir.

Este problema e contornado, atribuindo-se a <u>c</u> o valor para o qual f(c) atinge um minimo local, quando esta função não tiver raiz positiva.

Fazendo-se

$$f'(c) = 0$$
 (D.2)

onde f'(c)  $\tilde{e}$  a derivada de f com respeito a  $\underline{c}$ , obtem-se facilmente o ponto de minimo de f pois na equação D.2 o parametro  $\underline{c}$  pode ser explicitado. Obtem-se então

$$c_{\min} = \frac{P_r}{a+1} \tag{D.3}$$

Varios testes foram feitos, utilizando-se esse resultado e se conseguiu uma grande margem de segurança quanto à convergência do método do Apendice B, para os valores corretos de <u>a</u> e <u>c</u>. Alem disso, essa convergência se mostrou bastante rapida.

Analisando-se a Figura D.1, pode-se notar que o metodo iterativo de Newton (v. Apêndice B), para a determinação da raiz positiva, pode não convergir, dependendo do valor inicial atribuído a <u>c</u>. Ain da da Figura D.1 pode ser visto que, se o valor inicial de <u>c</u> for o ponto de inflexão da função, a convergência para uma raiz positiva (3ª raiz) é assegurada.

O ponto de inflexão de f(c) também pode ser facilmente determinado, pois o valor de c pode ser explicitado na equação abaixo

$$f''(c) = 0$$
 (0.4)

Obtem-se

$$c_{\inf} = \frac{2 P_r}{a+1} \tag{D.5}$$

Uma subrotina, em FORTRAN, foi desenvolvida para determinar uma raiz positiva de f(c), utilizando-se o método iterativo de Newton. Como valor inicial de c é utilizado o walor obtido por D.5.

Uma tentativa foi feita no sentido de se utilizar a me nor raiz positiva para o ajuste da curva Pearson tipo III aos sete pon tos obtidos pelo Método de Snyder; entretanto, este ajuste se mostrou menos preciso do que aquele que utiliza a maior raiz positiva, e a idéi a foi abandonada.

# APÊNDICE E

# GLOSSĀRIO DE EXPRESSÕES USADAS EM HIDROLOGIA

# Bacia Hidrografica

Toda area que é drenada por um canal ou por um sistema interconectado de canais tal que todo escoamento originado na area é conduzido para uma unica saída (Linsley et al., 1949).

### Bacia de Drenagem

V. Bacia Hidrografica.

# Ciclo Hidrologico

Movimento cíclico das aguas dos mares e rios para a <u>at</u> mosfera e a consequente precipitação (Wilson, 1969).

# Curva de Ascensão

Parte do hidrograma compreendida desde o início do excesso de precipitação até o primeiro ponto de inflexão.

# Curva de Recessão

Parte do hidrograma a partir do segundo ponto de  $\mbox{infl}\underline{e}$   $\mbox{x$\tilde{a}$o}$ .

# Excesso de Precipitação

Parte da precipitação total que contribui diretamente para a corrente superficial (Chow, 1964).

### Fluxo Direto

Fluxo composto do excesso de precipitação e da parcela de água que se infiltra, caminha paralelamente à superfície e retorna novamente a esta.

# Hidrograma de uma Bacia Hidrografica

Grafico mostrando a vazão, medida na saida da bacia, em função do tempo. Idênticas precipitações, com mesmas condições antece dentes, produzem hidrogramas iguais.

# <u>Hidrograma Sintético</u>

Hidrograma obtido de procedimentos outros que não a expe

rimentação.

# Hidrograma Unitário

Grafico mostrando a variação do fluxo direto com o tem po, obtido de uma precipitação que resulta num escoamento de uma polega da. Por escoamento de uma polegada, entenda-se todo fluxo direto que passa pela saída da bacia resultando num volume igual a uma polegada multiplicada pela área da bacia.

# Hidrologia

Parte da Ciência que se preocupa com a ocorrência e movimento das águas, suas propriedades químicas e físicas e sua interação com o meio ambiente (Eagleson, 1970).

# Hietograma

Gráfico mostrando a variação da intensidade da chuva com o tempo.

# Interceptação

Efeito da vegetação ao reduzir a quantidade de precipitação que alcança o solo. Durante a precipitação, o total interceptado

consiste de duas partes, quais sejam, aquela requerida para satisfazer o armazenamento na vegetação e aquela que se evapora na vegetação,  $d\underline{u}$  rante a chuva (Linsley et al., 1949).

### Ramo Descendente

V. Curva de Recessão.

### Tempo de Atraso

Diferença, em tempo, entre os centroides do hietograma e do hidrograma.

### Tempo de Base

Tempo decorrido desde o inicio do excesso de precipita ção até o instante em que cessa o fluxo direto.

# Teoria do Hidrograma Unitário

Teoria proposta por Sherman em 1932, segundo a qual pre cipitações uniformemente distribuídas dentro de um período especificado de tempo e uniformemente distribuídas em toda a extensão da bacia de drenagem produzem hidrogramas do fluxo direto com o mesmo tempo de base e ordenadas diretamente proporcionais à quantidade total do fluxo dire

to. Portanto, de posse de um hidrograma unitário, pode-se obter o hidrograma do fluxo direto, resultante de uma precipitação com as caracterís ticas acima. Para isso, basta multiplicar as ordenadas do hidrograma unitário pelo correspondente volume do fluxo direto.

Também, segundo essa teoria, o hidrograma do fluxo direto, resultante de uma precipitação sobre uma dada bacia, reflete todas as características físicas combinadas da bacia (Chow, 1964).

### BIBLIOGRAFIA

ABDEL-RAZAQ, A., Viessman, W. Jr., e Hernandez, J. W.

"A Solution to the Surface Runoff Problem", Journal of the Hydraulics Division, ASCE, no HY6, Proc. Paper 5606, November, pp 335-352.

### AMOROCHO, J.

"Measures of the Linearity of Hydrologic Systems",

Journal of Geophysical Research, vol. 68, nº 8, April

15, pp 2237-2249.

# BALTZER, R. A. e Lai, C.

"Computer Simulation of Unsteady Flows in Waterways",

Journal of the Hydraulics Division, ASCE, no HY4, Proc.

Paper 6048, July, pp 1083-1117.

### CHORAFAS, D. N.

:

1965 System and Simulation, Academic Press, New York.

### CHOW, V. T.

Handbook of Applied Hydrology, McGraw-Hill Book Co., Inc., New York, N.Y.

1959 Open Channel Hydraulics, McGraw-Hill Book Co., Inc., New York, N.Y.

### CORPS OF ENGINEERS

1959 Flood-Hydrograph Analyses and Computation, Engrg.

Manual 1110-2-1405, Office, Chf. of Engrs, Washington,

D.C., 60 pp.

### EAGLESON, P. S.

1970 Dynamic Hydrology, McGraw-Hill Book Co., Inc., New York, N.Y.

### GORDON, G.

1969 System Simulation, Prentice-Hall, Inc., Englewood Cliffs, N.J.

### HARTLEY, H. O.

"The Modified Gauss-Newton Method for the Fitting of Non-Linear Regression Functions by Least Squares", Technometrics, vol. 3, no. 2, May, p. 271.

### HENDERSON, F. M.

1966 Open Channel Flow, The MacMillan Co., New York, N.Y.

### HORTON, R. E.

1919 "Rainfall Interception",

Monthly Weather Rev., vol. 47, pp. 603-623.

HUDLOW, M. D., e Clark, R. A.

Journal of the Hydraulics Division, ASCE, no HY3, Proc. Paper 6555, May, pp. 839-859.

### LARSON, C. L.

"A Two-Phase Approach to Prediction of Peak Rates and Frequencies of Runoff for Small Ungaged Watersheds",

Stanford University, Department of Civil Engineering,
Tech. Report no 53, Stanford, California, June.

### LAURENSON, E. M.

1964 "A Catchment Storage Model for Runoff Routing", Journal of Hydrology, vol. 2, pp. 141-163.

### LEVENBERG, K.

"A Method for the Solution of Certain Nonlinear

Problems in Least Squares",

Quarterly of Applied Mathematics, no 2, pp. 164-168.

LINSLEY, R. K., Kohler, M. A., e Paulhus, J. L. H.

1949 Applied Hydrology, McGraw-Hill Book Co., Inc.,

New York, N.Y.

LINSLEY, R. K., Kohler, M. A., e Paulhus, J. L. H.

1958 Hydrology for Engineer, McGraw-Hill Book Co., Inc.,

New York, N.Y.

MACHMEIER, R. E. e Larson, G. L.

"Runoff Hydrographs for Mathematical Watershed Model",

Journal of the Hydraulics Division, ASCE, no HY6,

Proc. Paper 6248, November, pp 1453-1474.

#### MINSHALL, N. E.

"Predicting Storm Runoff on Small Experimental
Watersheds",

Journal of Hydraulics Division, ASCE, vol. 86, no HY8,

Proc. Paper 2577, August, pp 17-33.

### PABST, A. F.

"Hydrograph Linearity in an Elementary Channel",

Tese apresentada para o Departamento de Engenharia Ci
vil, Universidade de Minnesota, Minneapolis, Minn.

#### PARKER, J. K.

"Introduction to System Analysis",

International City Managers Association, Washington,

D.C. - (tradução: v. LAFE-100, IMPE).

### SHERMAN, L. K.

"Stream flow from Rainfall by the Unit-Graph Method",
Engineers News-Record, vol. 108, pp. 501-505.

### SNYDER, F. F.

1938 "Synthetic Unit-Graphs",

Transactions, American Geophysical Union, vol. 19,

pp. 447-454.

### STOCKER, J. J.

1957 Water Waves, Interscience Publishers, New York, N.Y.

### WEBBER, N. B.

1968 Fluid Mechanics for Civil Engineers, E. & F. N. SPON LTD, London.

### WILSON, E. M.

Ť

1969 Engineering Hydrology, The MacMillan Press Ltd., New York, N.Y.